

# IDENTIFICAÇÃO DE POSSÍVEIS MICRO-TECNOLOGIAS E PADRÕES ARTIFICIAIS NA VACINA PFIZER USANDO MISCROSCOPIA ÓPTICA



## ANÁLISE DE MICROSCÓPIO ÓPTICO E RELATÓRIO FOTOGRÁFICO

Sevilha, Espanha, 14 de Janeiro de 2022

**Ricardo Delgado Martín**  
Graduado em Estatística. Especialidade em Bioestatística - Universidade de Sevilha -

## OBJETIVO DA INVESTIGAÇÃO

O objetivo do presente trabalho é **a identificação de padrões artificiais e estruturas microtecnológicas que possam estar contidas na vacina comercial Comirnaty Pfizer.**

Para isso, vários objetos visíveis ao microscópio óptico foram fotografados e comparados com artigos da literatura científica para fins desta análise.

Além disso **procurou-se identificar uma grande variedade de objetos compatíveis com estruturas semelhantes ao grafeno, dadas as características e peculiaridades desse material como as suas dobras, relevos, tensão superficial, etc.**

Esta pesquisa é uma abordagem do ponto de vista da microscopia óptica, à caracterização dessas estruturas com as limitações da metodologia e meios utilizados.

As micro-fotografias foram obtidas com qualidade de ampliação que varia de **200 X a 1400 X**.

É necessária uma maior representatividade das amostras a serem analisadas com a técnica óptica para tirar conclusões ou generalizações sobre o assunto em estudo.

No entanto, **o relatório constitui um elemento a ser levado em consideração e que deve necessariamente ser complementado e ampliado por cientistas e laboratórios independentes para esclarecer este produto alvo administrado à Sociedade Civil global e simultaneamente.**

## INTRODUÇÃO

A microtecnologia e a nanotecnologia que tem o objectivo de formar nanoredes intracorpóreas ou predispostas a coexistir dentro de seres vivos é um objetivo científico há vários anos, conforme afirma a literatura científica neste campo disciplinar.

A nanotecnologia está fornecendo um novo conjunto de ferramentas para a comunidade de engenharia para projetar componentes em nanoescala com funcionalidade sem precedentes.

A integração de vários nanocomponentes em uma única entidade permitirá o desenvolvimento de nanomáquinas avançadas.

Nanogrids, ou seja, redes de nanomáquinas, permitirão um grande número de aplicações nas áreas **biomédica, ambiental, industrial e militar**.

Dezenas de artigos científicos publicados estabelecem as bases para a comunicação eletromagnética habilitada com **grafeno** em nano e microrredes, incluindo microrredes intracorpóreas.

[https://www.researchgate.net/publication/269853754\\_Fundamentals\\_of\\_Electromagnetic\\_Nanonetworks\\_in\\_the\\_Terahertz\\_Band](https://www.researchgate.net/publication/269853754_Fundamentals_of_Electromagnetic_Nanonetworks_in_the_Terahertz_Band)

[https://www.researchgate.net/publication/282476793\\_Design\\_of\\_Wireless\\_Nanosensor\\_Networks\\_for\\_Intrabody\\_Application](https://www.researchgate.net/publication/282476793_Design_of_Wireless_Nanosensor_Networks_for_Intrabody_Application)

<https://ieeexplore.ieee.org/document/7874136>

Os resultados obtidos apontam para a **Banda Terahertz (0,1-10 THz) como a faixa ótima de frequência de operação** das novas nanoantenas.

Por outro lado, o **grafeno** é um material **com capacidade de absorver radiação de micro-ondas de antenas telefônicas** na faixa de GHz e amplificar seu sinal em 3 magnitudes de onda na escala Thz.

<https://cordis.europa.eu/article/id/124280-graphene-boosts-ghz-signals-into-terahertz-territory/es>

Há anos foi alcançada uma frequência de corte ideal para transistores de grafeno foi alcançada exatamente em **26 GHz**, a frequência mais alta relatada usando este material.

[https://www.photonics.com/Articles/26-GHz\\_Graphene\\_Transistor/a35858](https://www.photonics.com/Articles/26-GHz_Graphene_Transistor/a35858)

Sabemos também que o nosso Governo aguarda a aprovação do concurso para a nova tecnologia 5G para a nova banda comercial, exactamente nos **26 GHz**.

<https://www.lamoncloa.gob.es/serviciosdeprensa/notasprensa/asuntos-economicos/Paginas/2021/271221-frecuencias.aspx>

Tendo em vista os resultados obtidos na presente investigação e o conhecido trabalho do Dr. Campra "*Relatório técnico sobre a detecção de grafeno em vacinas covid por espectroscopia micro-raman*" onde a presença de grafeno em vacinas é inequivocamente conclusiva, **a presença de grafeno nas amostras obtidas dos frascos da Pfizer, Astrazeneca, Moderna e Janssen, é viável que o referido material não declarado nos frascos seja a base para a implementação de nano e microrredes intracorpóreas na população mundial** usando a situação atual como pretexto.

[https://www.researchgate.net/publication/355684360\\_Deteccion\\_de\\_grafeno\\_en\\_vacunas\\_COVID19\\_por\\_espectroscopia\\_Micro-RAMAN](https://www.researchgate.net/publication/355684360_Deteccion_de_grafeno_en_vacunas_COVID19_por_espectroscopia_Micro-RAMAN)

Da mesma forma, mencionamos o **efeito multiplicador do grafeno** na radiação de antenas de telefones celulares além da radiação de Cherenkov.

<https://aip.scitation.org/doi/abs/10.1063/1.4984961?journalCode=apl>

A parte final e conclusão desta investigação reforça que com base nesta evidência e na toxicidade deste material dependente de radiação, **a chamada doença COVID19 é uma Síndrome de Irradiação aguda potencializada pela ação da própria substância tóxica que é introduzida nas "vacinas"**, efeito colateral desta operação nano e microtecnológica para fins desconhecidos pela sociedade e na linha de financiamento da *Graphene Flagship* nos últimos anos.

<https://graphene-flagship.eu/graphene/news/european-opportunities-for-research-and-innovation-with-layered-materials/>

Neste artigo científico publicado no PubMed, são coletados os **pontos em comum entre a doença COVID-19 e as lesões por radiação, o que explica que o verdadeiro agente etiológico ou causador da doença não é de origem biológica e tem sua explicação neste composto químico tóxico, o grafeno e seus derivados.**

<https://www.ncbi.nlm.nih.gov/labs/pmc/articles/PMC7861125/>

## METODOLOGÍA UTILIZADA

### Equipamento de microscopia óptica HAXON AQUILES II e Câmera Haxon H-Aptina 5.0 USB 2.0



#### Características:

- MICROSCÓPIO HAXON AQUILES I Modelo A-PTR203iH TRINOCULAR para PETROGRAFIA de iluminação REFLETIDO E TRANSMITIDO.
- Cabeça trinocular tipo Siedentopf para POLARIZAÇÃO (Livre de Tensão e Polarizado).
- Multidirecional com Correção INFINITA, Possui Regulação Interpupilar e Dioptria.
- Distribuição de Luz de Cabeça Fixa 80/20, 80% da Luz para as Oculares e 20% da Luz para a Câmera.
- Adaptador 0.5X y 1X para câmera com interface de Rosca C-Mount Standar.
- Câmara APTINA 5.0 Megapixels USB 2.0 com Sensor APTINA MT9P001 de alto desempenho com menu de configuração de parâmetros completos e compatível com o sistema Operativo Windows.
- Câmera USB 2.0 dedicada. Resolução máxima 5.0 Megapixels 2592H x 1944V. Tamanho do pixel 2,2 x 2,2 microns.
- Alta taxa de imagem por segundo até 15 fps na resolução máxima.
- Oculares Metálicas de Campo Largo de Alto Relevo de 10X/22mm corrigidas para montagem plana de 30mm.
- Ocular auxiliar reticulada cruzada de 10X/20mm para medições de montagem de 30mm.
- Revólver Quádruplo com Sistema de Centragem para PETROGRAFIA, sem rolamentos e com marcação de posicionamento preciso.

- Objetivos infinitos planos acromáticos de alto contraste IPCS (Infinity PLAN Correction System) de Larga Distancia de Trabalho LWD (Long Work Distance).
  - Para Metalurgia Libres de Tensão para POLARIZAÇÃO, RMS y DIN45 de 5X, 10X, 20X y 50X.
  - MÓDULO PETROGRÁFICO com Módulo de Polarização com Lente de Bertrand.
  - Analisador ajustável e lâminas de compensação de 1/4 lambda, lambda completo e cunha de quartzo
  - Platina Rotativa 360° de 140 mm para polarização com pinças porta-objetos.
  - Condensador Abbe 1,25 n.a. Especial para Polarização com Polarizador Ajustável, também ajustável em altura por meio de sistema de zíper, dispõe de diafragma.
  - Módulo Ponte METALÚRGICA para Iluminação REFLETIDA com POLARIZADOR.
  - Módulo de bloco Porta-lâmpada com Lâmpada Halógena de 50W com fonte de alimentação externa analógica de 50W.
- Sistema Macro Focus com Regulagem de Tensão e Parada de Altura para evitar colisões com as Objetivas.
- Sistema de Micro Focagem Utilizando Coroas e Pinhões com rotação infinita e precisão de 2 microns por divisão, atingindo o máximo padronizado para o laboratório.
- Iluminador Kohler com Diafragma e Lentes de Vidro Friccionado com Sistema de Centragem Ajustável.
- Dispositivo interno de Iluminação Halógena de alta potência a 30W, com regulação de intensidade e interruptor de segurança

## DESCRIÇÃO E TRATAMENTO DAS AMOSTRAS ANALIZADAS

Usando as técnicas descritas na introdução, 3 frascos Comirnaty Pfizer, mostrados na fotografia anexa, foram analisados.

As amostras foram obtidas **de frascos de vacinas lacrados, das vacinas mRNA COVID19 Comirnaty Pfizer**. Todos os frascos foram lacrados no momento do processamento.

Para a extração das amostras dos respectivos frascos, procedeu-se por meio de microseringas e novas agulhas esterilizadas depositando na lâmina diferentes alíquotas de cada frasco de aproximadamente 10ul.



Em uma primeira aproximação, **as amostras analisadas parecem estar fluindo em uma suspensão ou hidrogel que mantém o fluxo e o aquoso para os componentes que as compõem.**

Dependendo da tensão superficial da suspensão, **certos objetos com qualidades diferentes são visíveis** em diferentes planos ou relevos das diferentes amostras analisadas.

Ao longo da presente investigação, **as imagens obtidas sofreram uma evolução observável na análise óptica, em função do tempo decorrido desde a sua exposição na lâmina, até à sua completa evaporação em ambiente de intemperismo.**

Após amplos intervalos de observação em microscópio óptico, usando diferentes filtros de luz e qualidades de ampliação, **foram observados objetos compatíveis com aparência de grafeno** (Anexo 1) em diferentes planos da amostra.

Além disso, **são visíveis certos objectos com aspecto quadrangular e auto-montagem destes objectos num arranjo em zig-zag** (Anexo 2), observados durante a investigação em tempo real.

No entanto, após evaporação quase total das amostras, esta evolução dá origem a **estruturas mais complexas que lembram padrões artificiais típicos da tecnologia de microrrede intra-corpo, tal como relatado na literatura científica** em várias publicações. (*Anexo 3*).

**Nota:** A fim de evitar qualquer tipo de contaminação que possa influenciar o resultado final da investigação, as amostras foram armazenadas em recipientes selados durante todo o processo de investigação e foram mantidas as mais rigorosas razões higiénicas no tratamento das amostras, desde a sua observação até ao seu armazenamento e custódia.

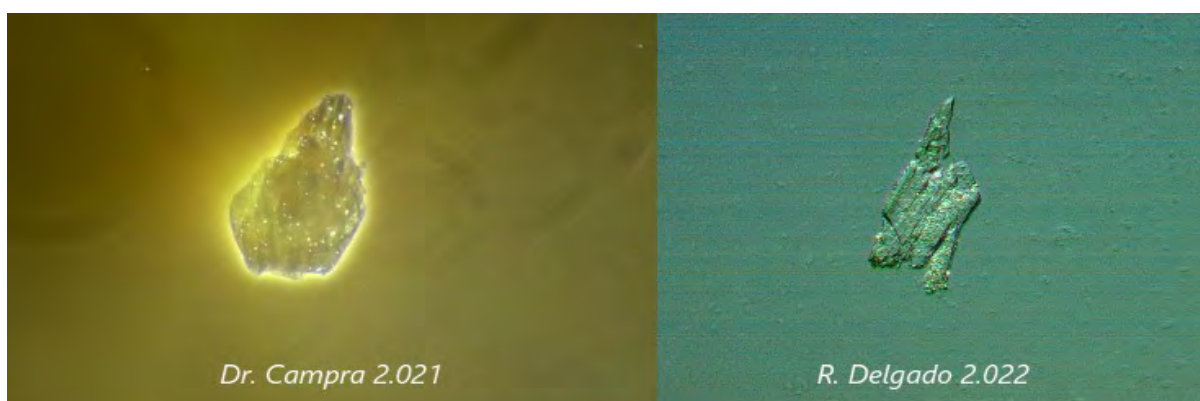
**- ANEXO 1-**

**IDENTIFICAÇÃO DE OBJECTOS COMPATÍVEIS COM O GRAFENO NA AMOSTRA**

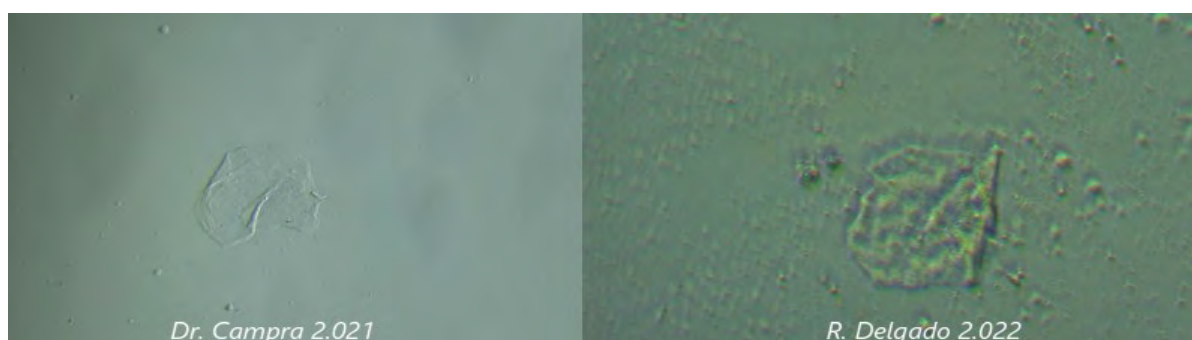
Abaixo encontra-se um relatório fotográfico microscópico de alguns dos objectos semelhantes a grafeno obtidos a partir das diferentes amostras. (*Fotografias 3 – 16*)

Vale a pena notar o grau de semelhança com as imagens obtidas pelo Dr. Campra Madrid na sua "Deteccção de óxido de grafeno em suspensão aquosa, estudo observacional em microscopia óptica e electrónica". Relatório intercalar" (*Dr. Campra, junio 2.021, fotografias 1 y 2*)

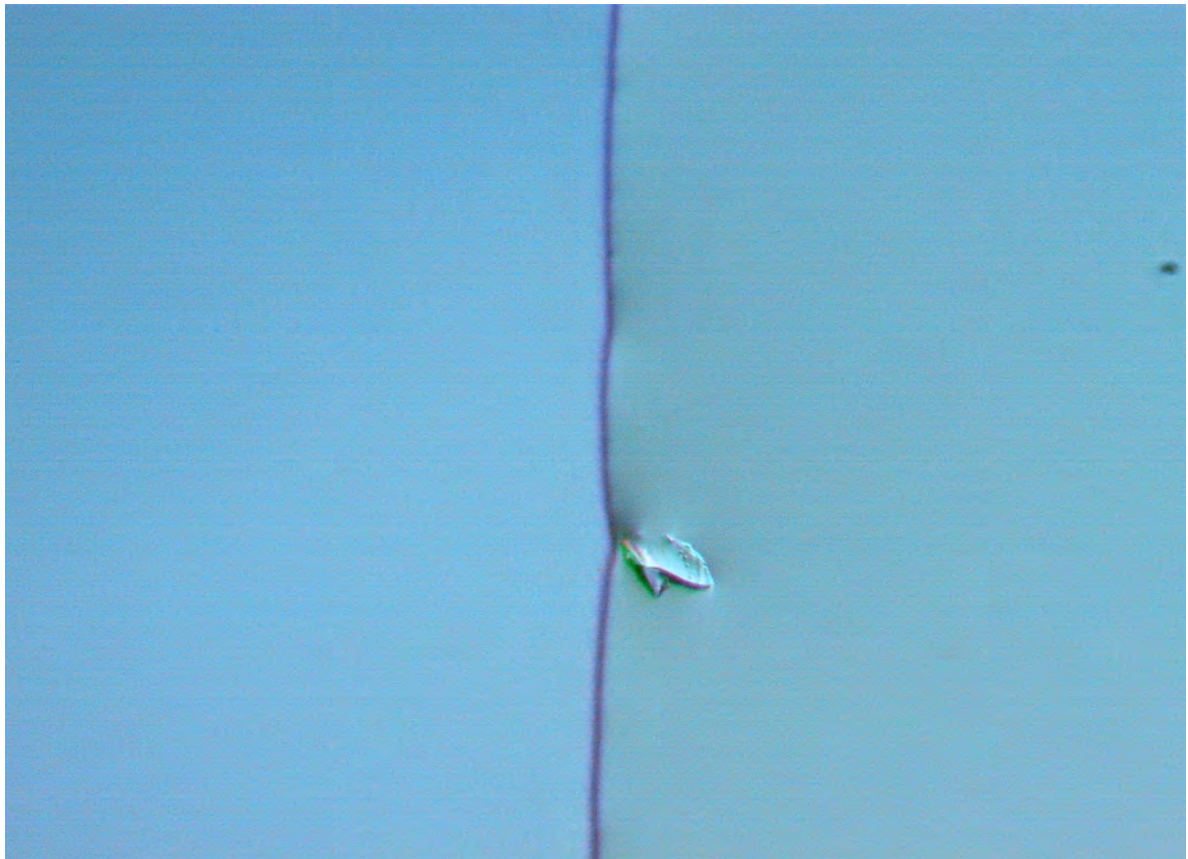
[https://www.researchgate.net/publication/354059739\\_DETECCION\\_DE\\_OXIDO\\_DE\\_GRAFENO\\_EN\\_SUSPENSION\\_ACUOSA\\_COMIRNATYTM\\_RDIESTUDIO\\_OBSERVACIONAL\\_EN\\_MICROSCOPIA\\_OPTICA\\_Y\\_ELECTRONICAInforme\\_provisional\\_IANEXO\\_FOTOGRAFIAS](https://www.researchgate.net/publication/354059739_DETECCION_DE_OXIDO_DE_GRAFENO_EN_SUSPENSION_ACUOSA_COMIRNATYTM_RDIESTUDIO_OBSERVACIONAL_EN_MICROSCOPIA_OPTICA_Y_ELECTRONICAInforme_provisional_IANEXO_FOTOGRAFIAS)



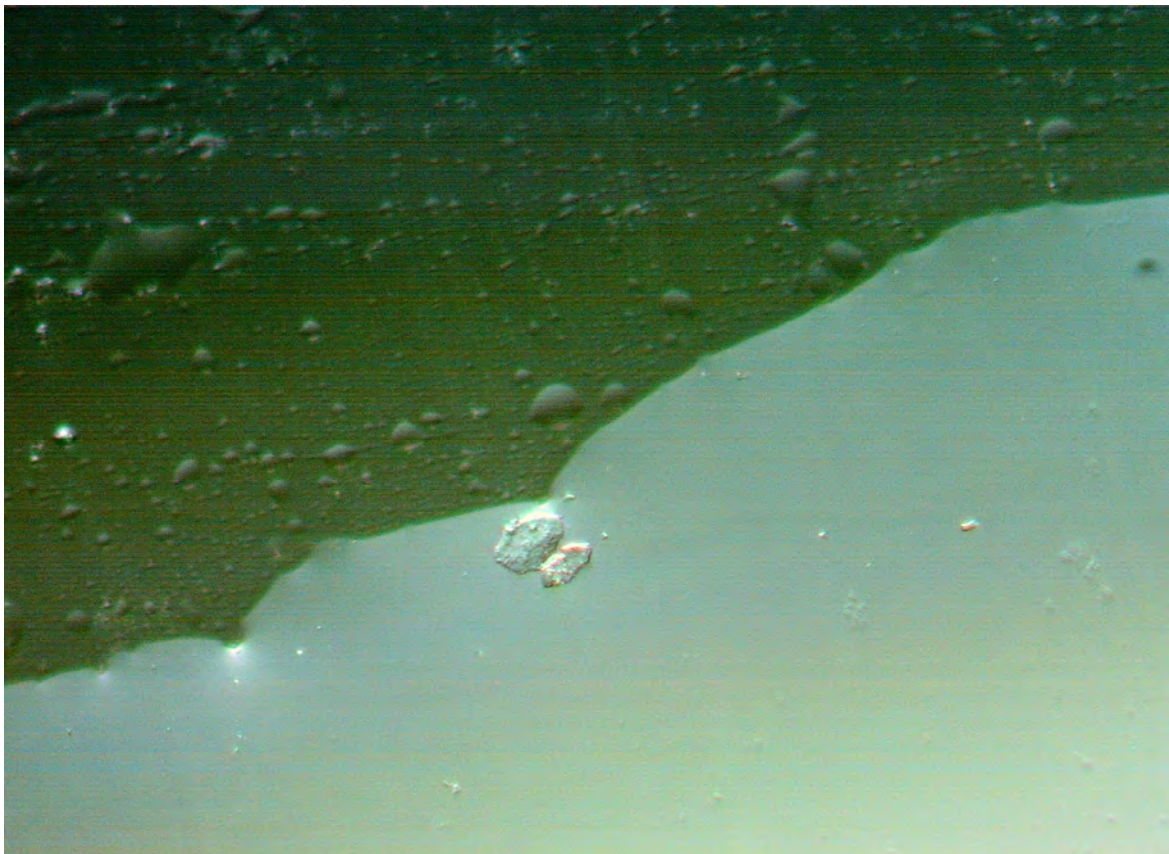
*Fotografia 1*



*Fotografia 2*



*R. Delgado 2.022 (Fotografía 3)*

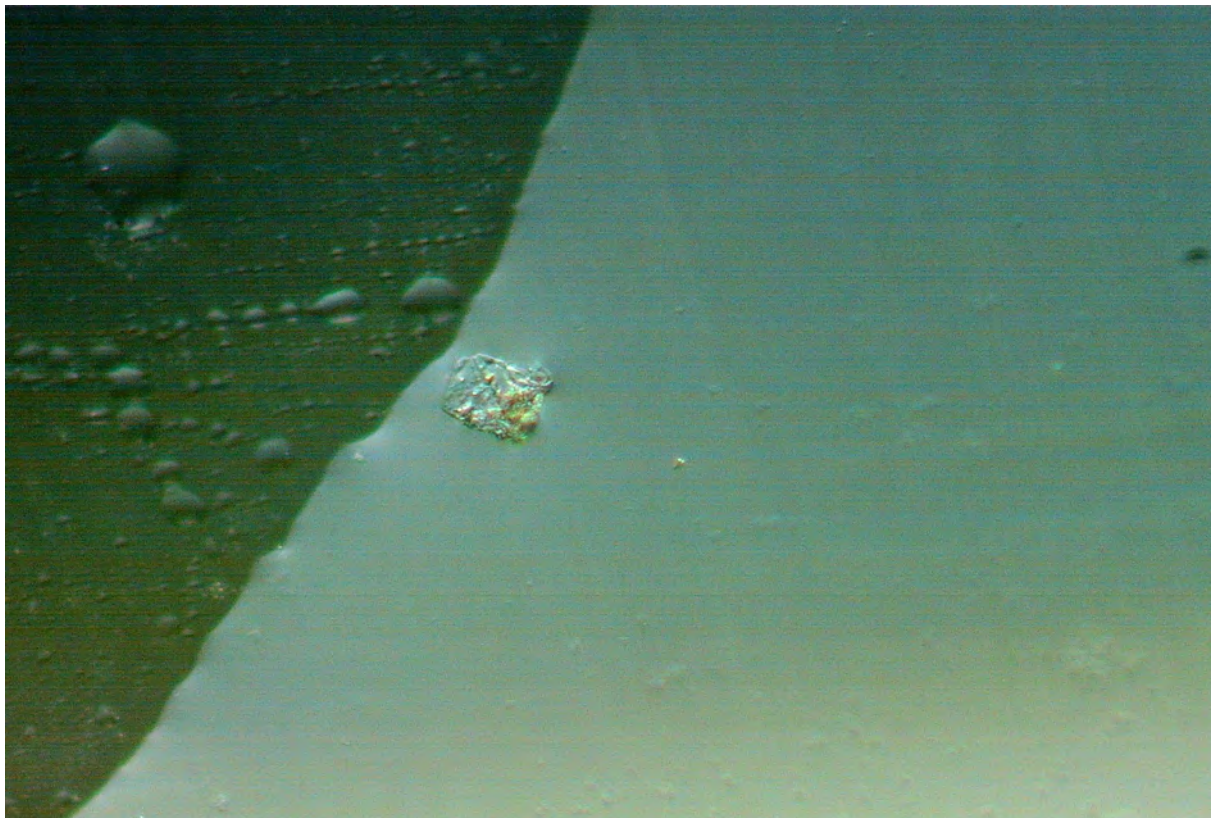


*R. Delgado 2.022 (Fotografía 4)*

Tradução cortesia da equipa de tradução de La Quinta Columna.

Link para o documento original aqui:

<https://www.laquintacolumna.info/docs/docs/delgado-informe-identificacion-micro-tecnologia-patrones-artificiales-en-vacuna-es.pdf>



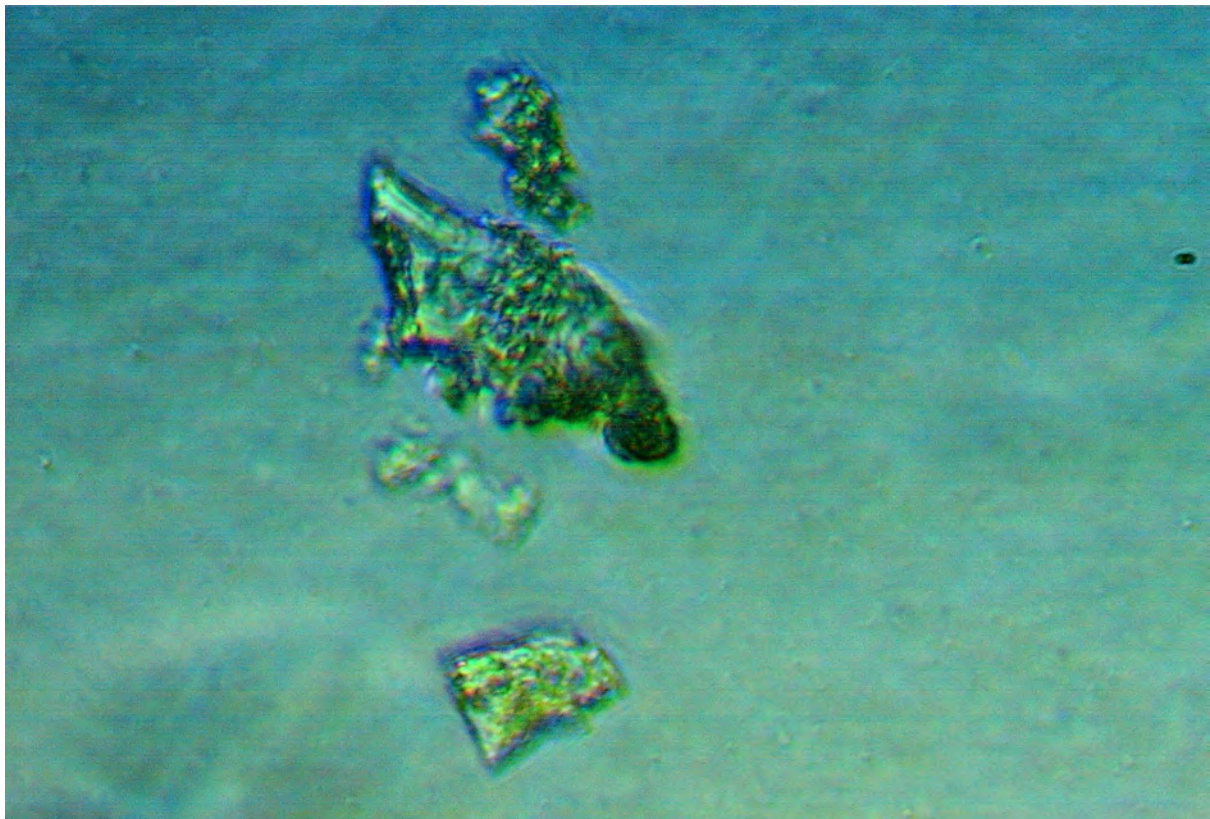
*R. Delgado 2.022 (Fotografia 5)*



*R. Delgado 2.022 (Fotografia 6)*



*R. Delgado 2.022 (Fotografía 7)*



*R. Delgado 2.022 (Fotografía 8)*



*R. Delgado 2.022 (Fotografia 9)*



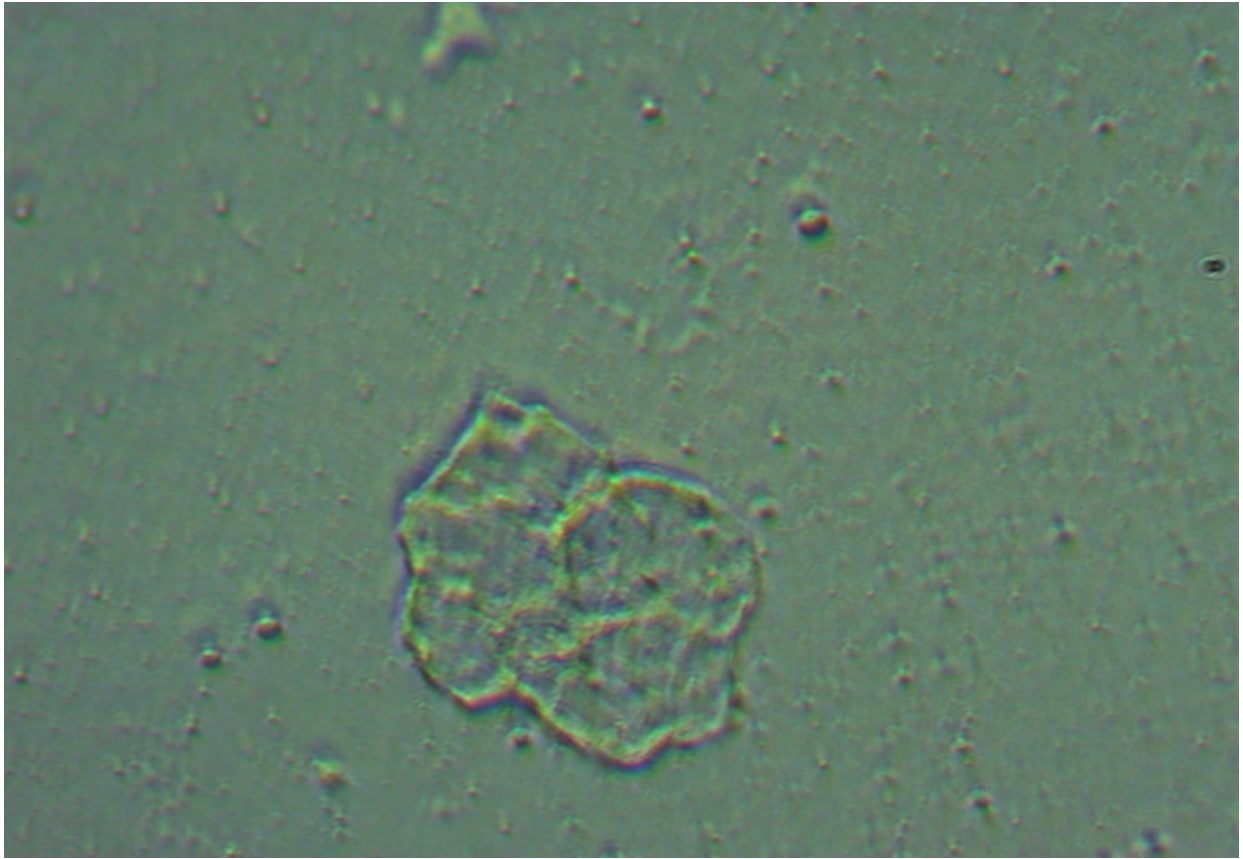
*R. Delgado 2.022 (Fotografia 10)*



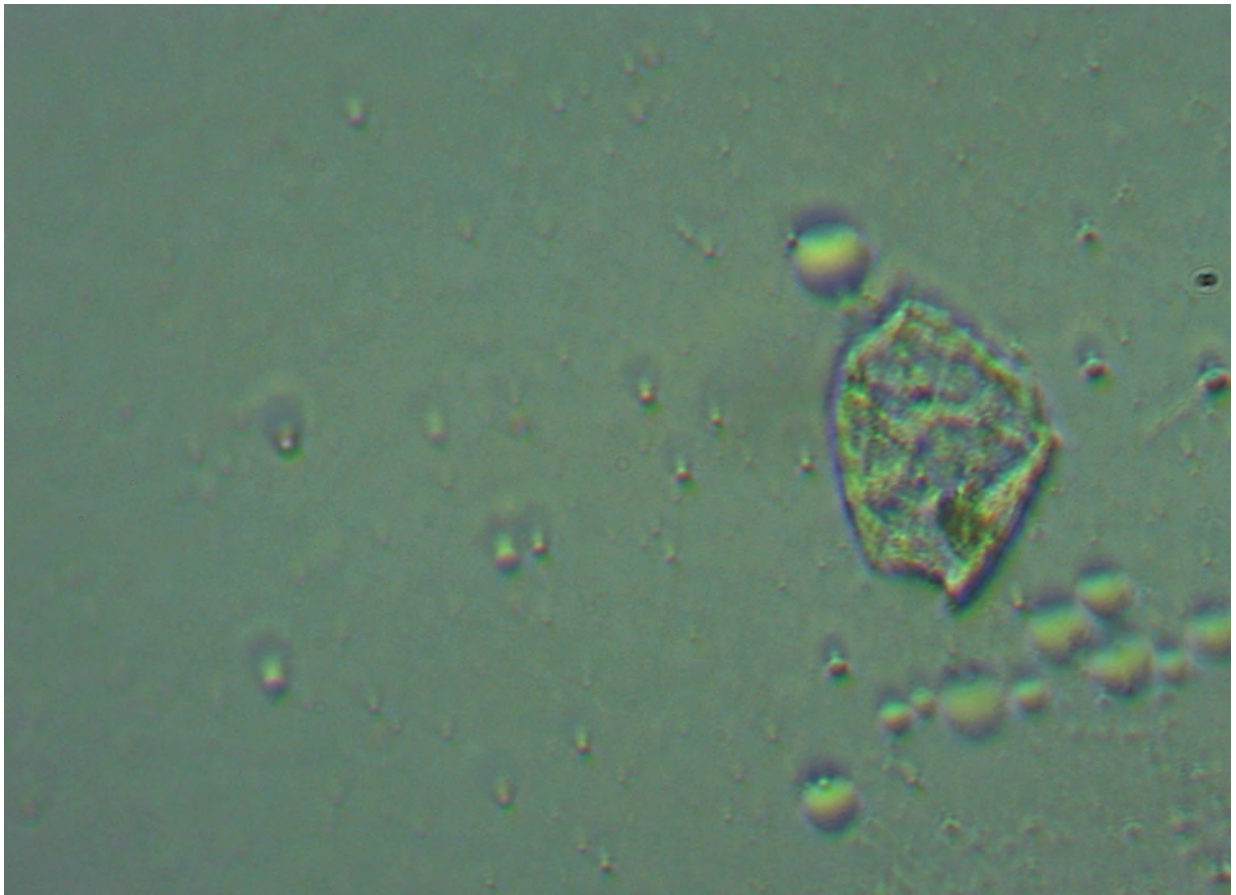
*R. Delgado 2.022 (Fotografía 11)*



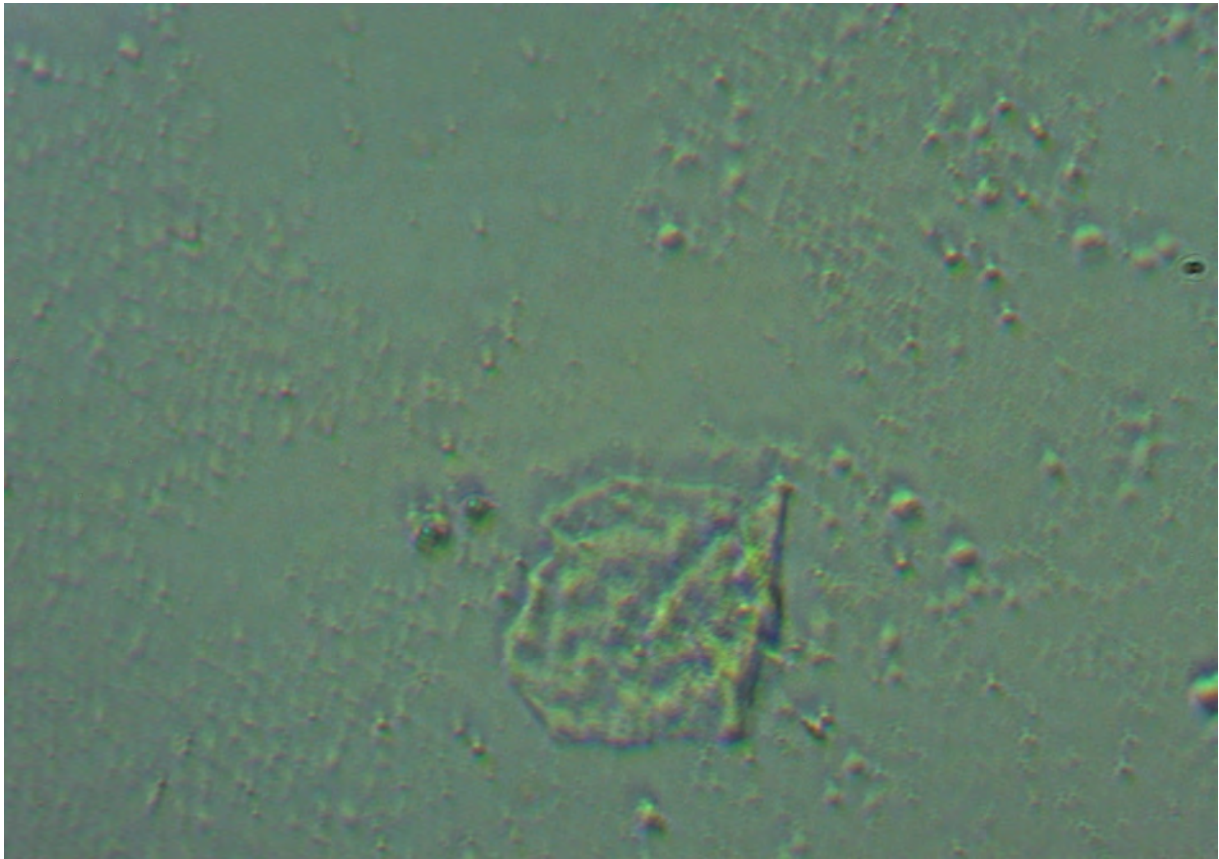
*R. Delgado 2.022 (Fotografía 12)*



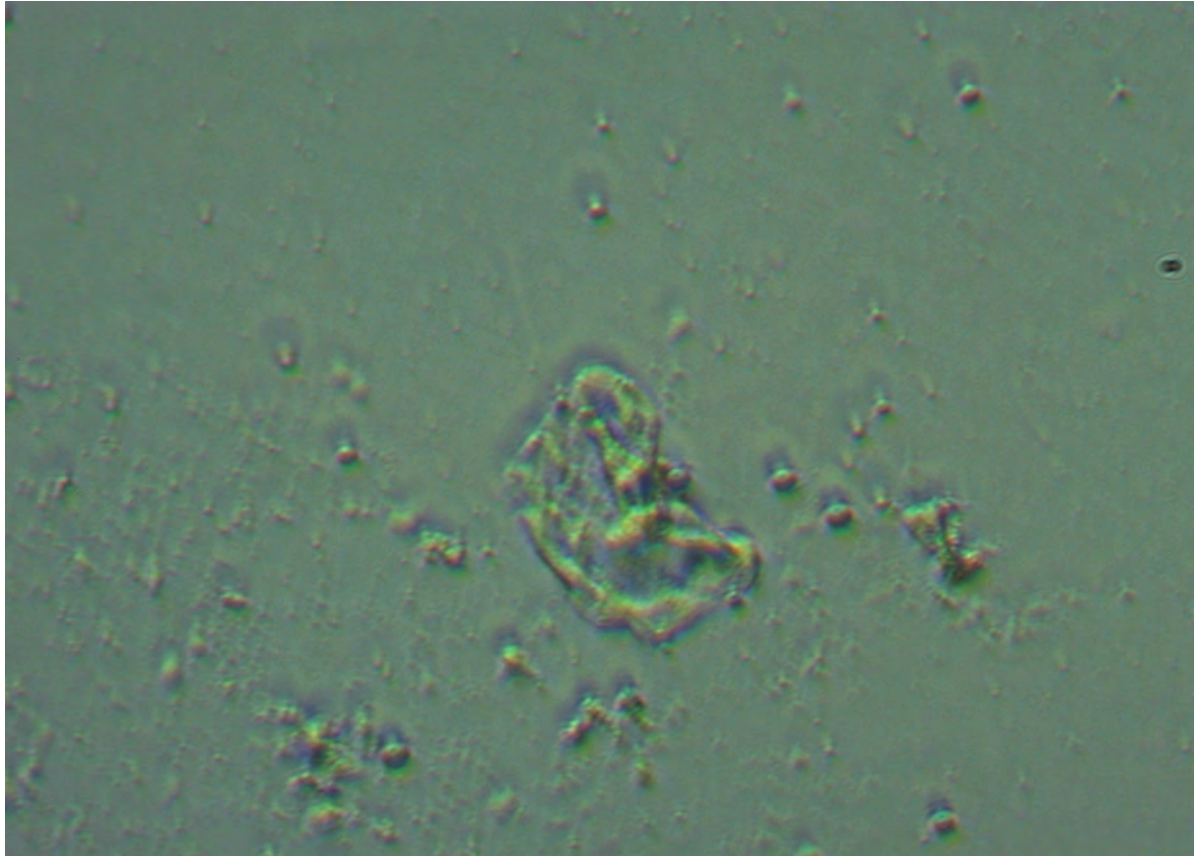
*R. Delgado 2.022 (Fotografía 13)*



*R. Delgado 2.022 (Fotografía 14)*



*R. Delgado 2.022 (Fotografia 15)*



*R. Delgado 2.022 (Fotografia 16)*

- ANEXO 2 -

**EXPOSIÇÃO NA AMOSTRA DE AUTO-MONTAGEM DE OBJECTOS**

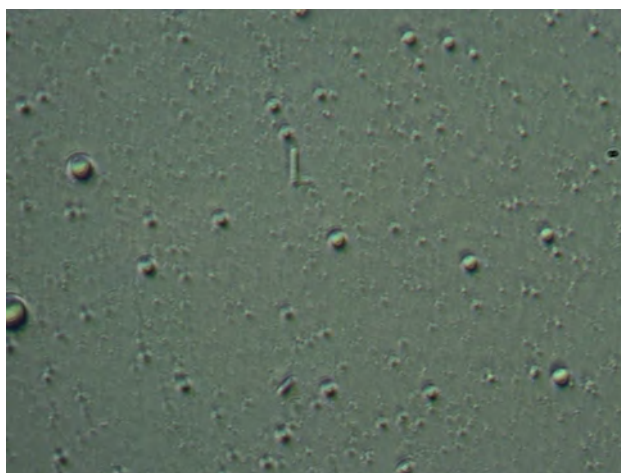
As estruturas de auto-montagem nas amostras observadas e a sua evolução ao longo do tempo são mostradas abaixo. (*Fotografias 17 – 31*)

A literatura científica também relata o processo de auto-montagem de diferentes componentes para formar estruturas mais complexas no contexto da micro e nano-tecnologia.

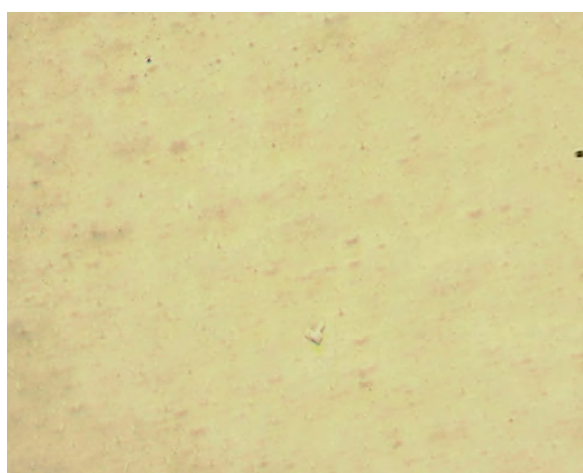
*"Self-assembly as a key player for materials nanoarchitectonics".*

<https://www.tandfonline.com/doi/full/10.1080/14686996.2018.1553108>. Katsuhiko Ariga, Michihiro Nishikawa, Taizo Mori, Jun Takeya, Lok Kumar Shrestha y Jonathan P. Hill (*Enero, 2.019*)

**Nota:** A pesquisa é apresentada com um ficheiro descarregável em formato de vídeo mp4, para a compreensão do que foi observado neste anexo.



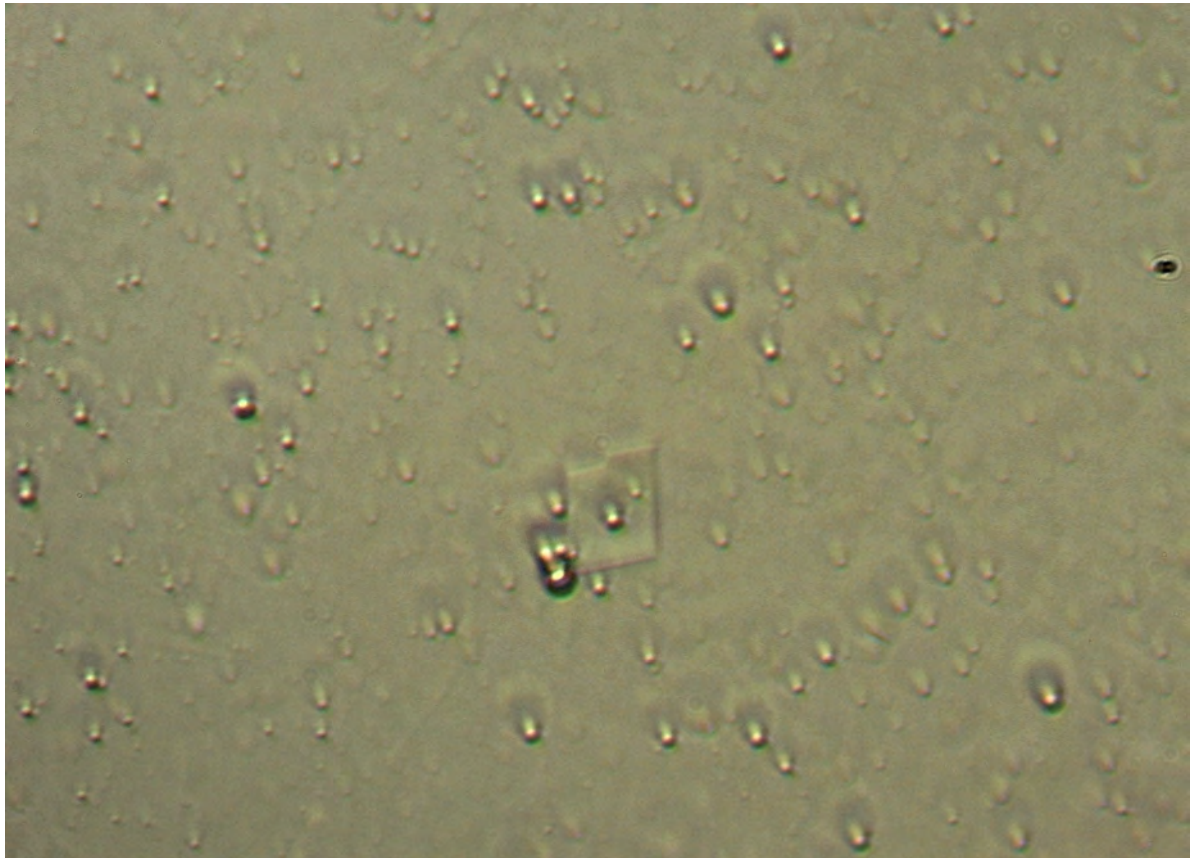
*Fotografia 17*



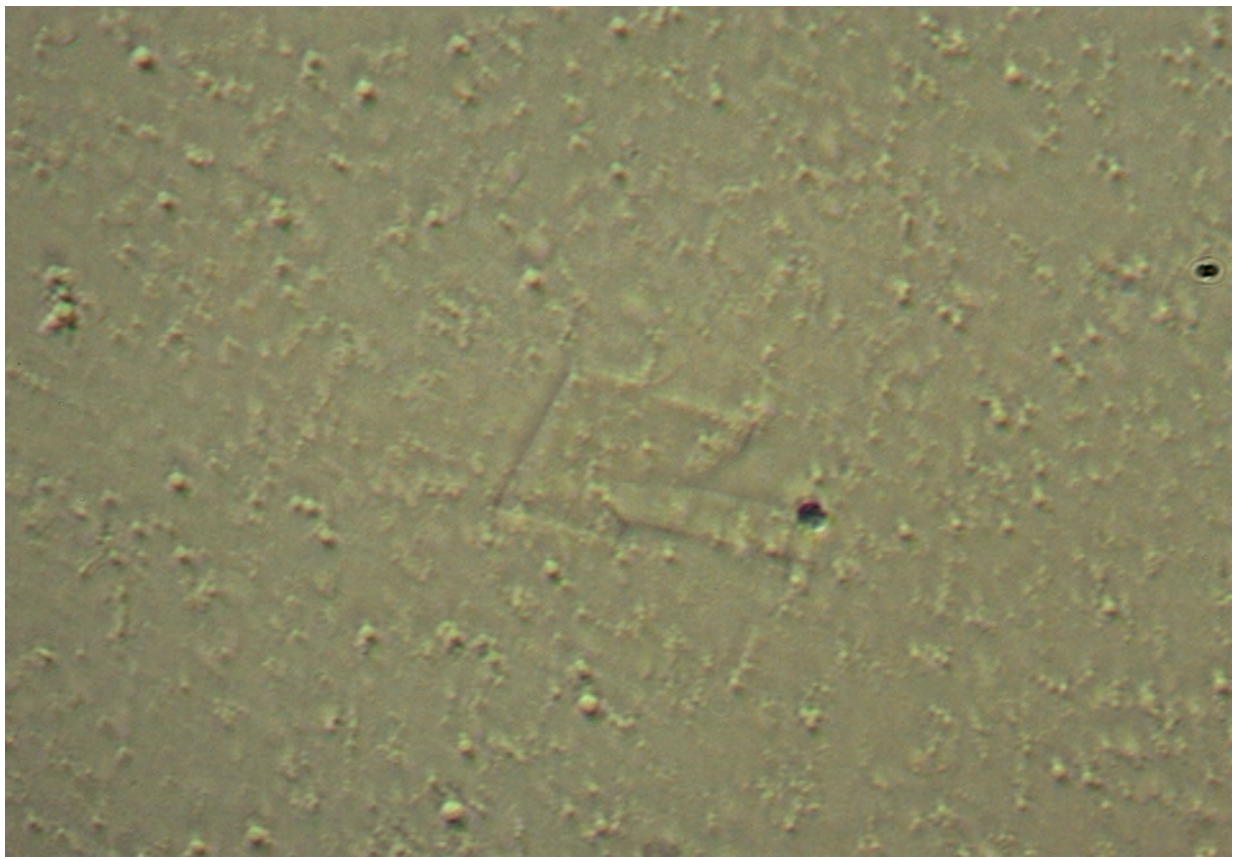
*Fotografia 18*



*Fotografia 19*



*Fotografia 20*



*Fotografia 21*

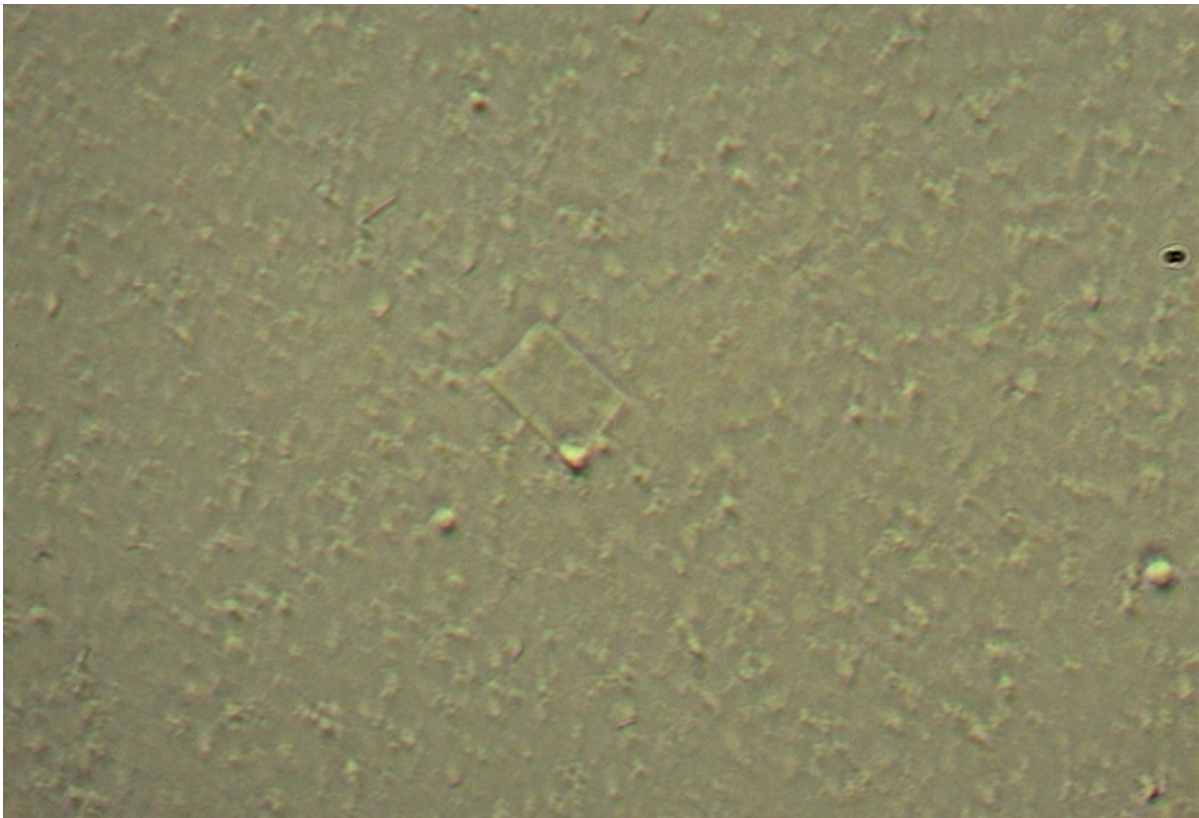
Tradução cortesia da equipa de tradução de La Quinta Columna.

Link para o documento original aqui:

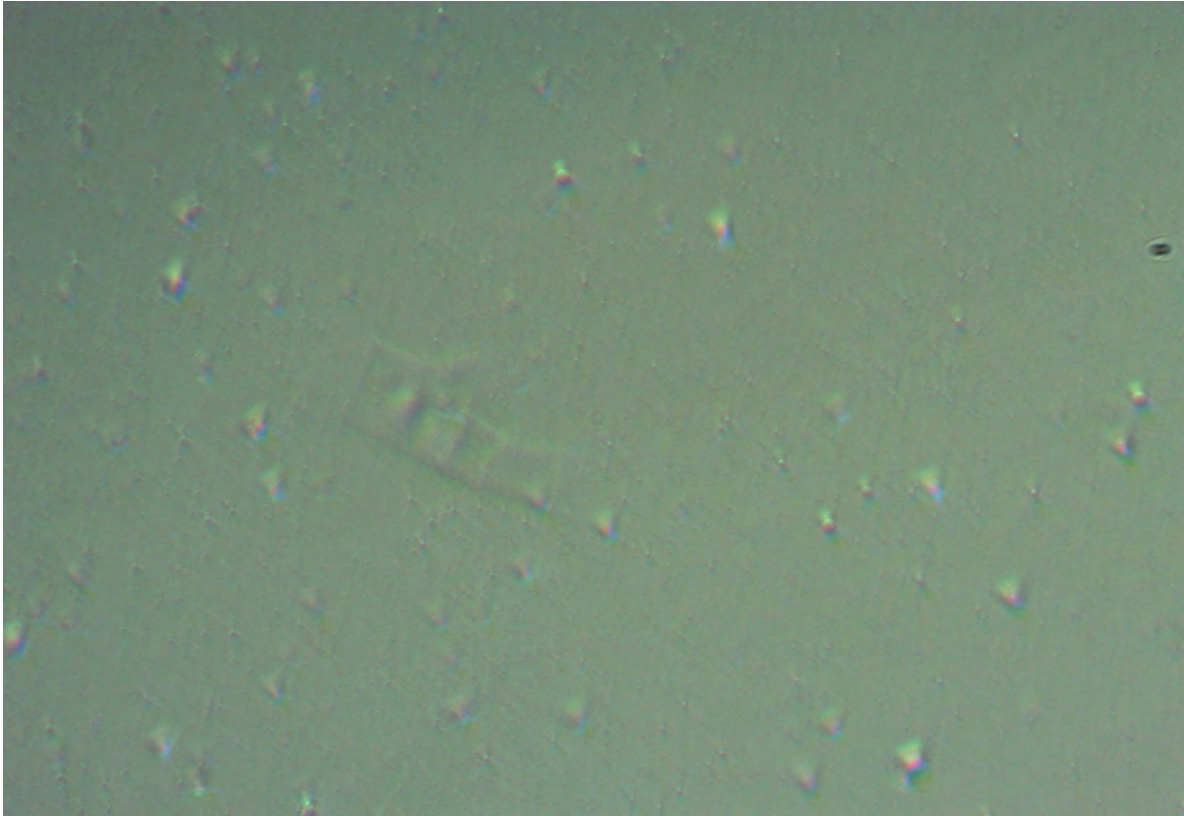
<https://www.laquintacolumna.info/docs/docs/delgado-informe-identificacion-micro-tecnologia-patrones-artificiales-en-vacuna-es.pdf>



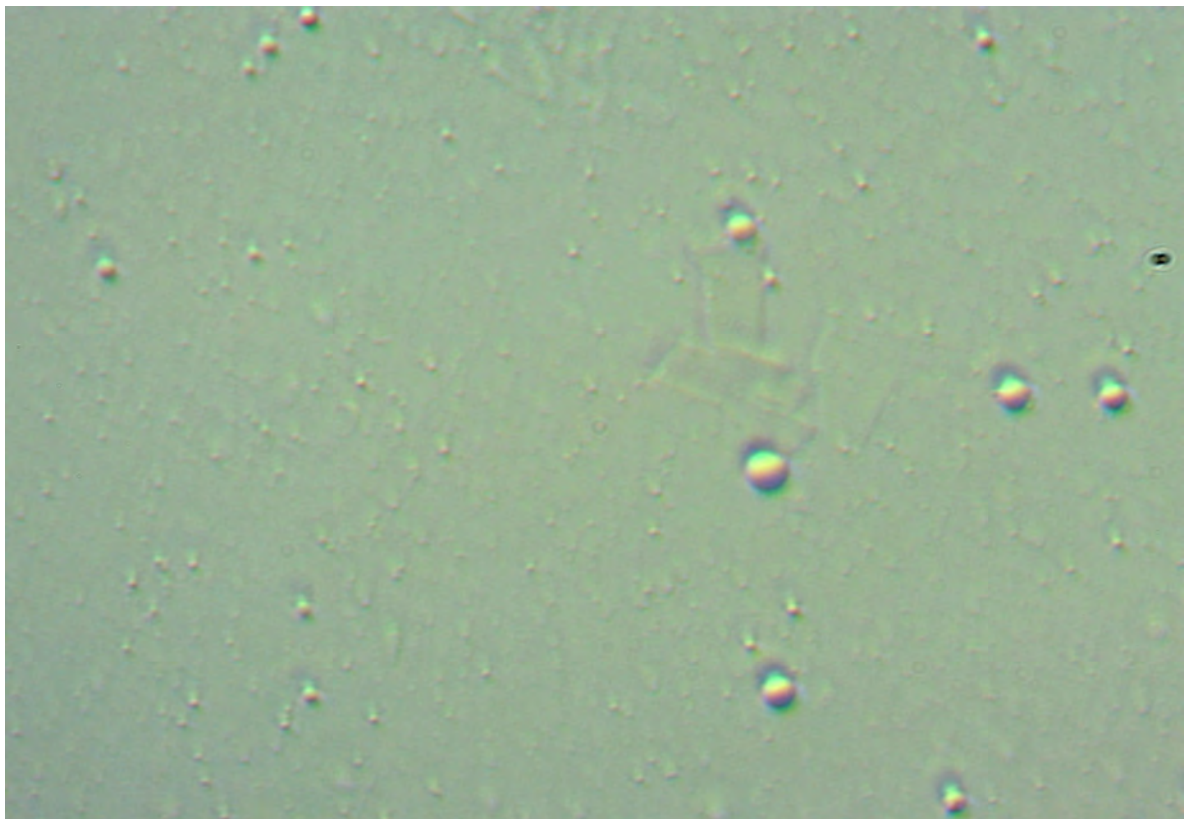
*Fotografia 22*



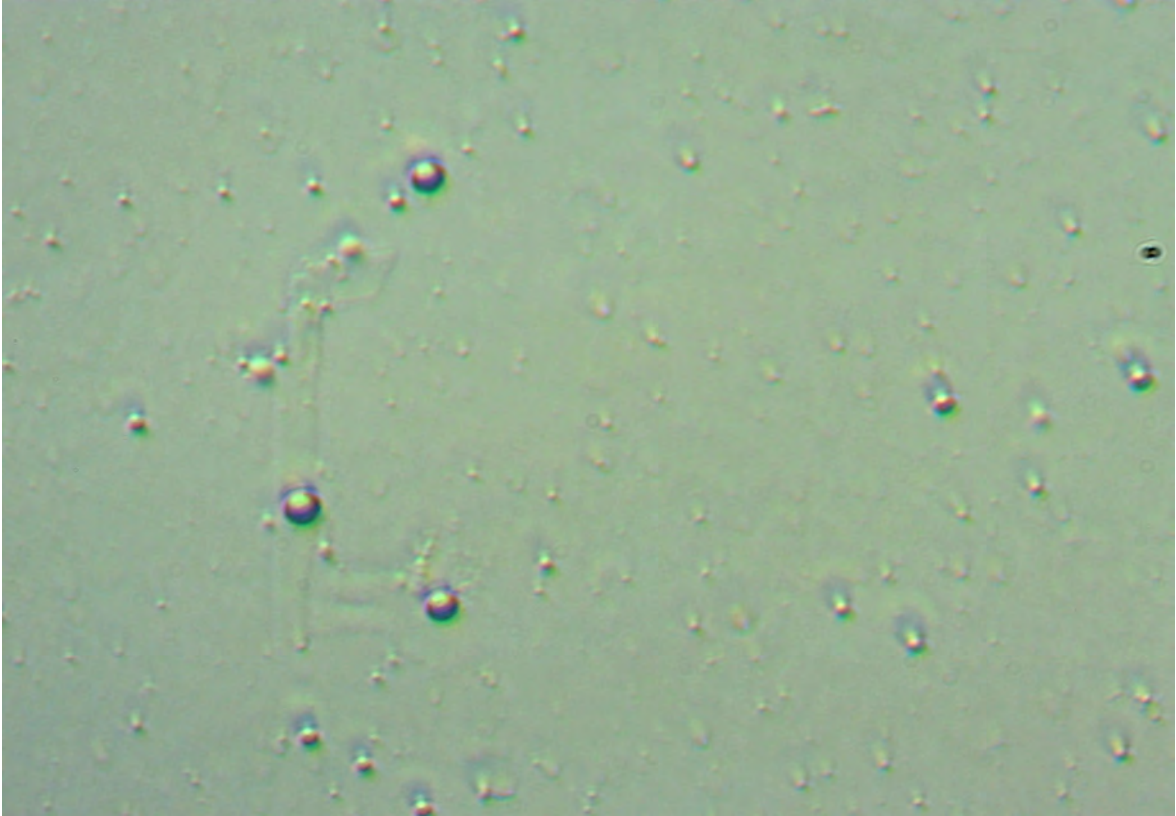
*Fotografia 23*



*Fotografia 24*



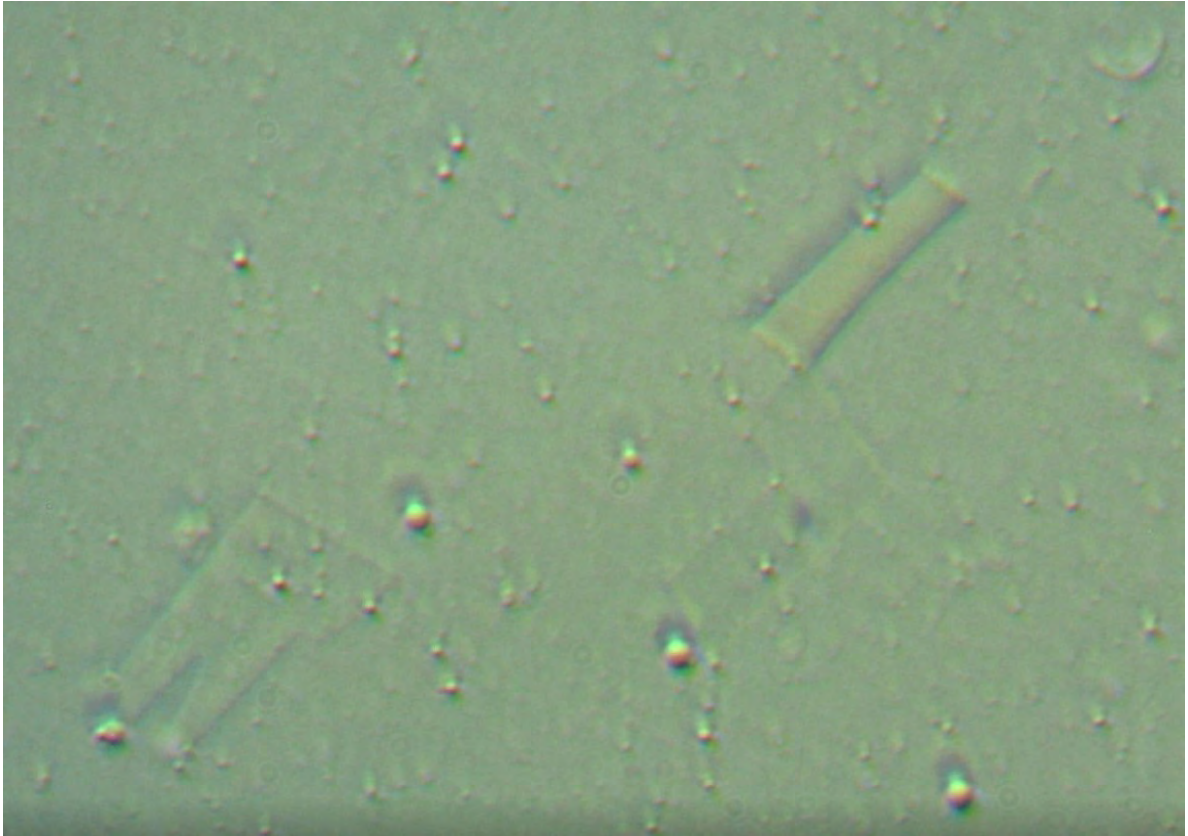
*Fotografia 25*



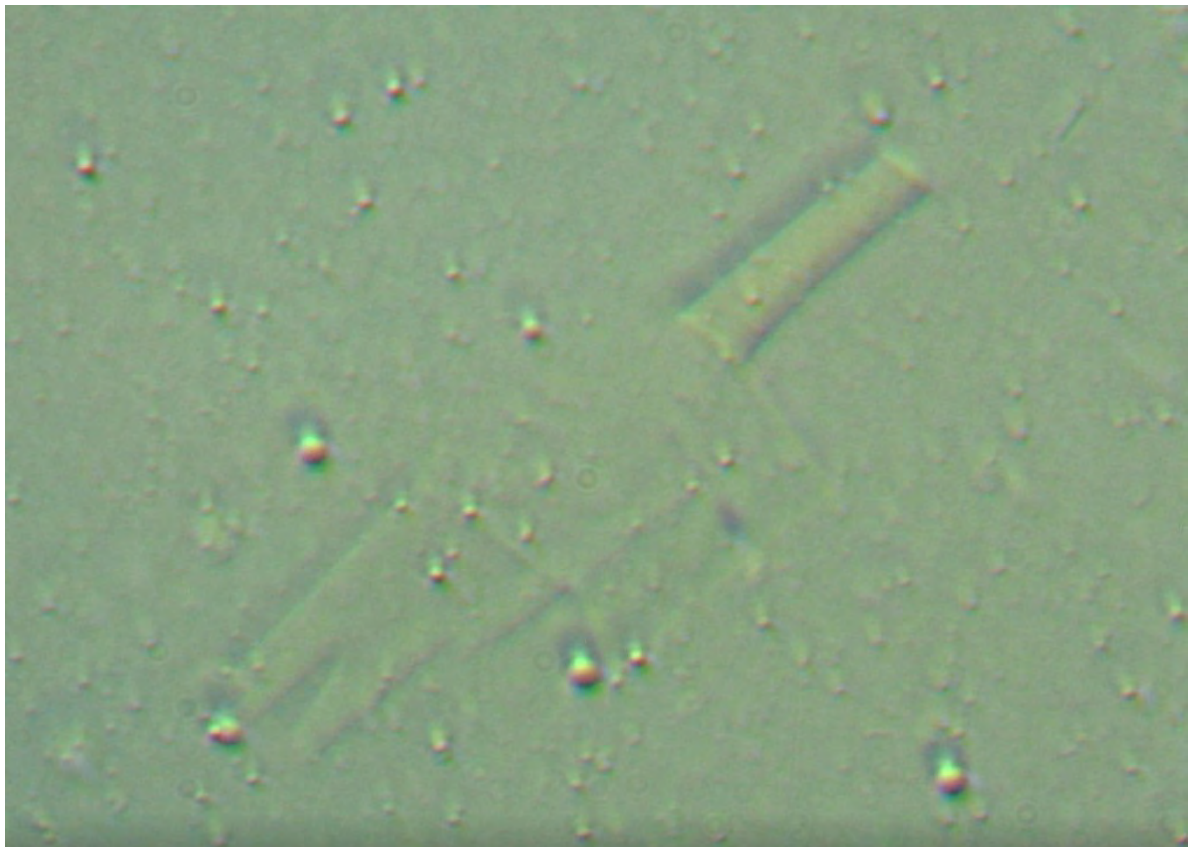
*Fotografia 26*



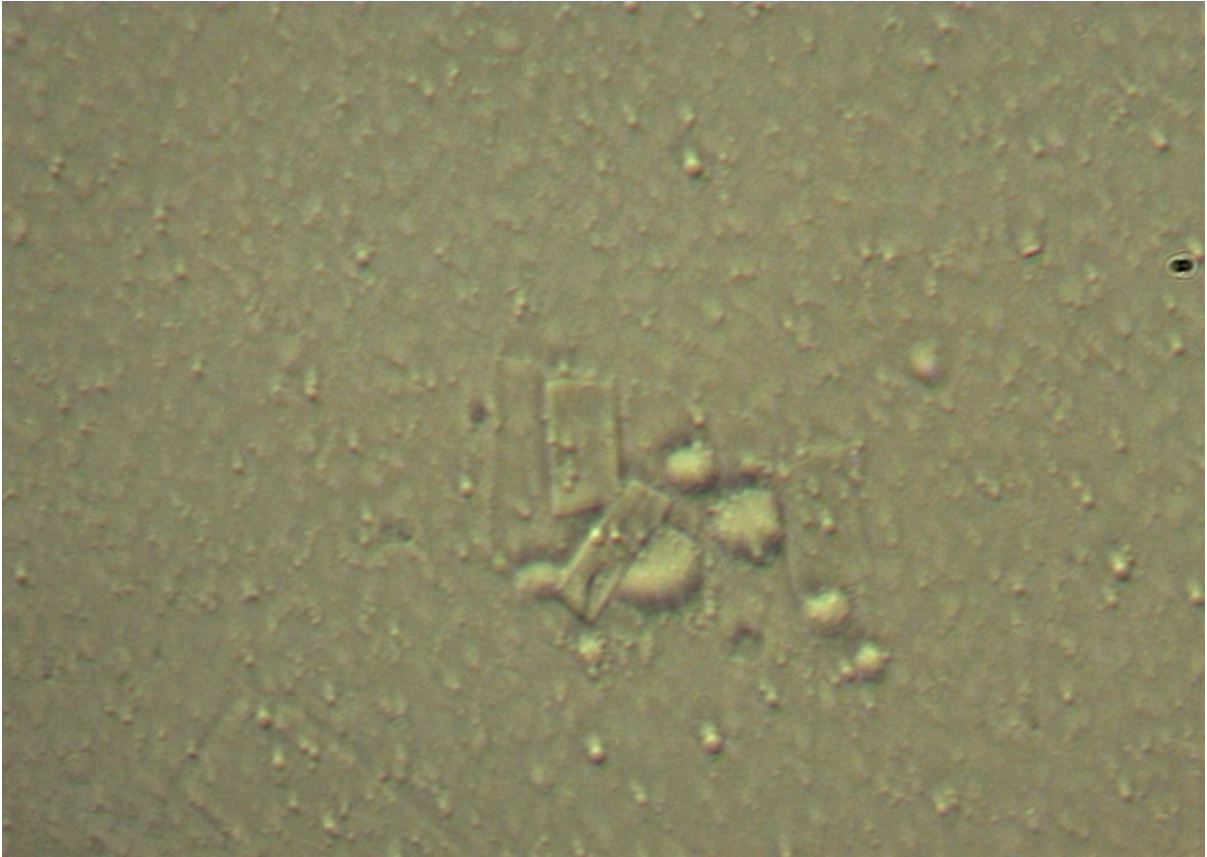
*Fotografia 27*



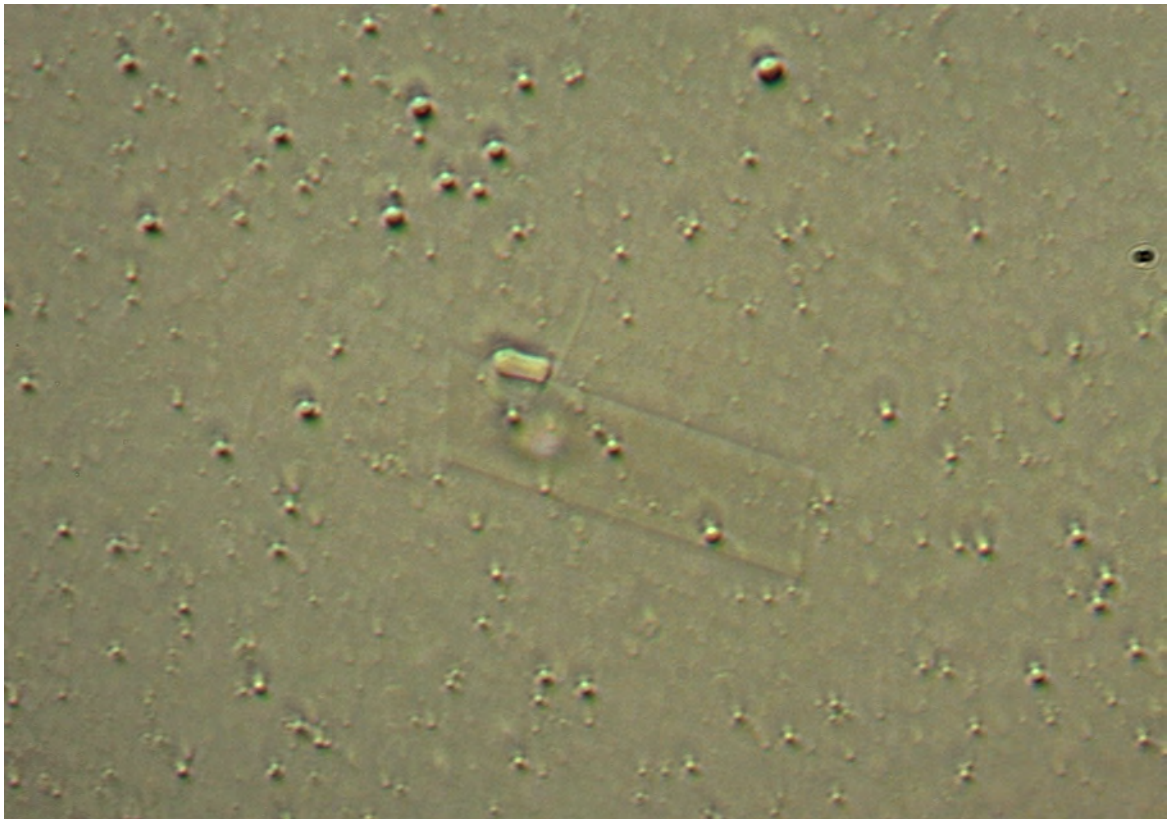
*Fotografia 28*



*Fotografia 29*



*Fotografia 30*



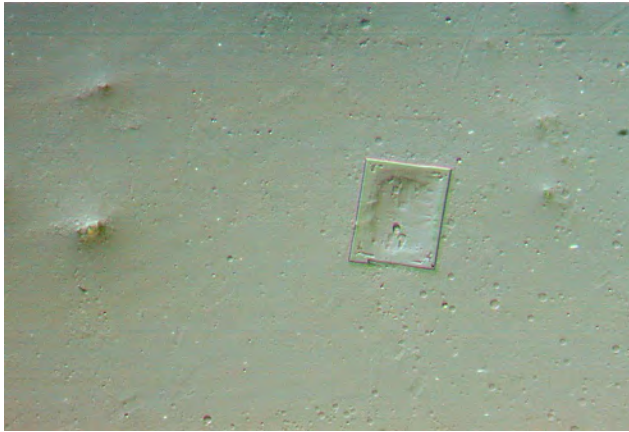
*Fotografia 31*

### ANEXO 3

#### IDENTIFICAÇÃO NA AMOSTRA DE PADRÕES ARTIFICIAIS E INDICAÇÕES DE MICROTECNOLOGIA

Nesta seção, analisamos todas as estruturas que podem ter sua origem em um padrão claramente artificial. (Fotografias 32 - 49).

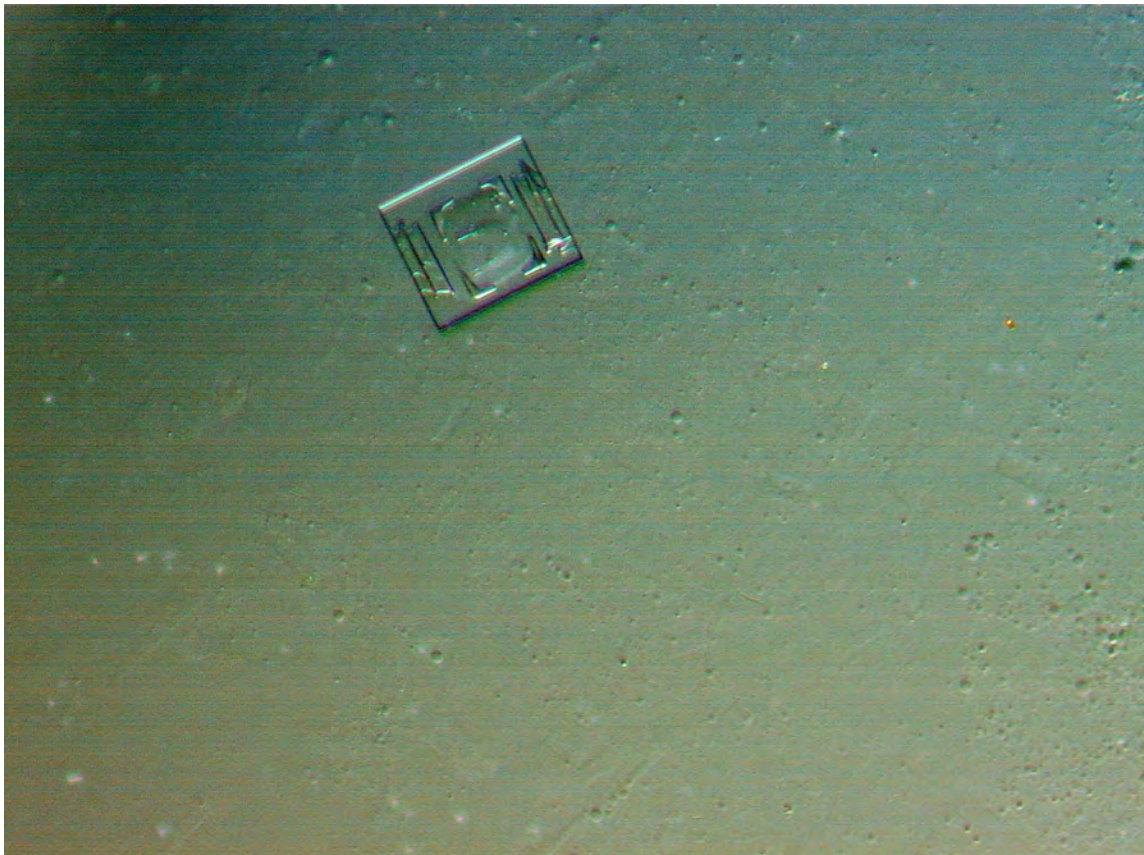
**Nota:** Note-se que, em nenhum caso, corresponde a cristalizações conhecidas como sacarose.



*Fotografia 32*



*Fotografia 33*



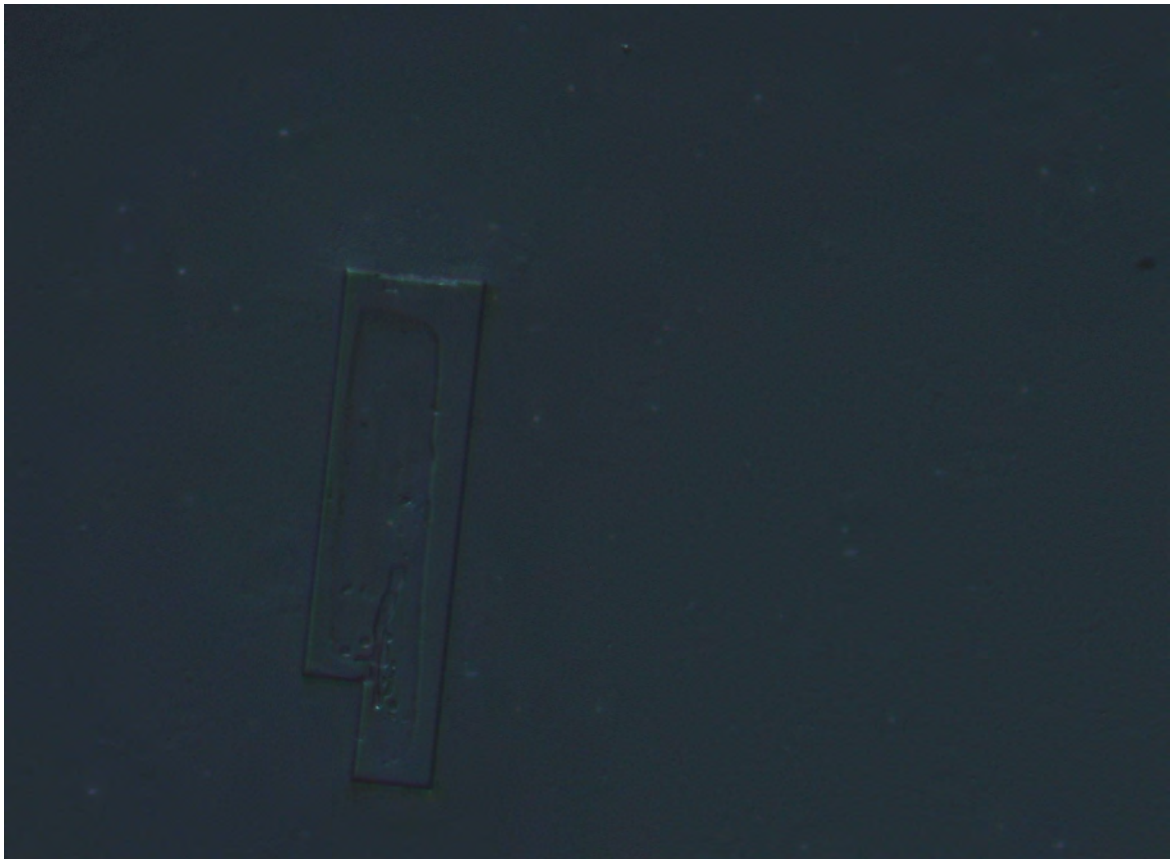
*Fotografia 34*



*Fotografia 35*



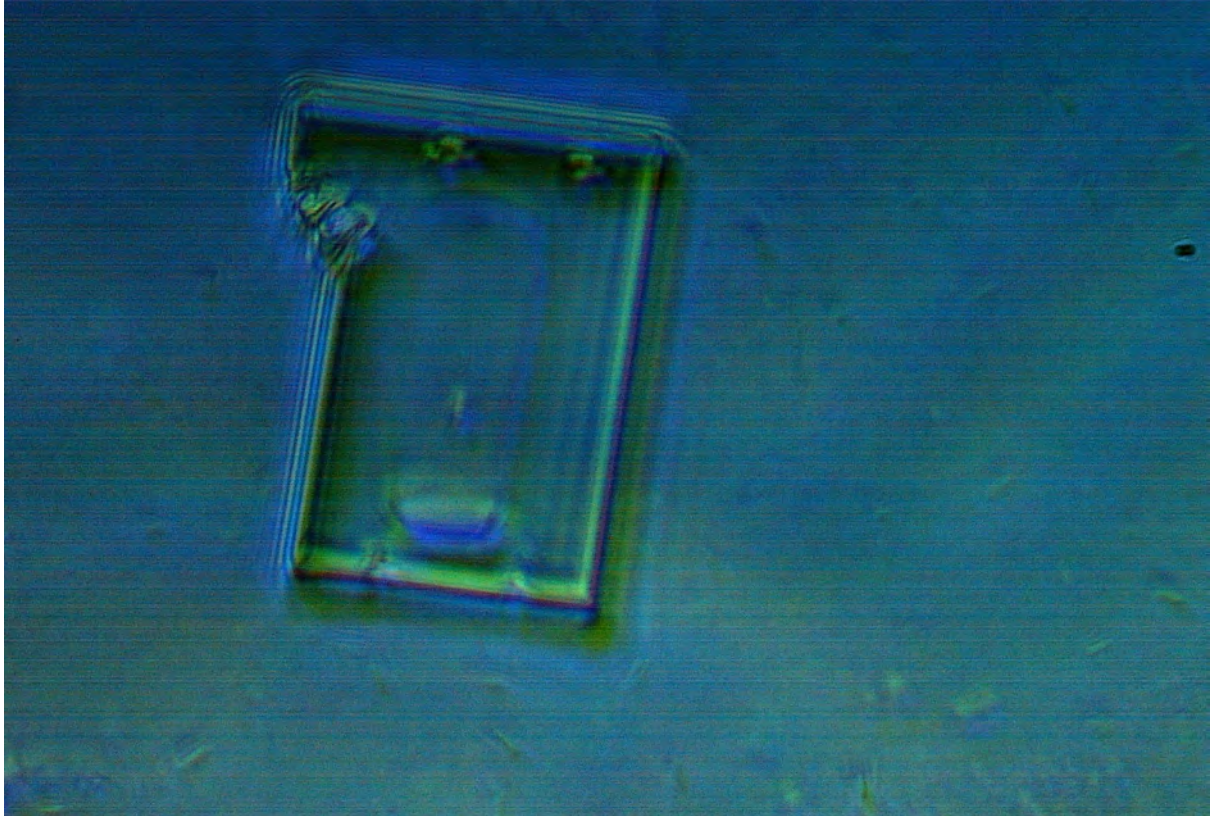
*Fotografia 36*



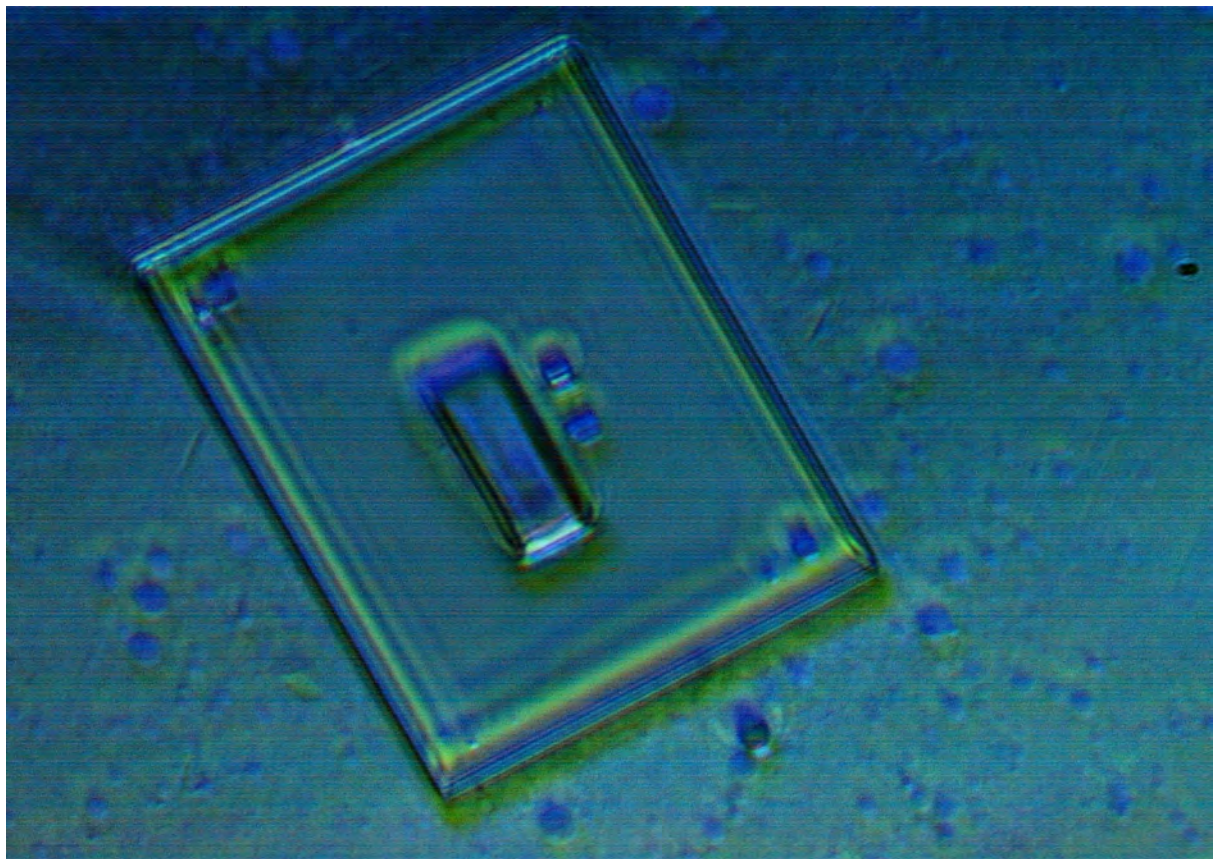
*Fotografia 37*



*Fotografia 38*



*Fotografia 39*

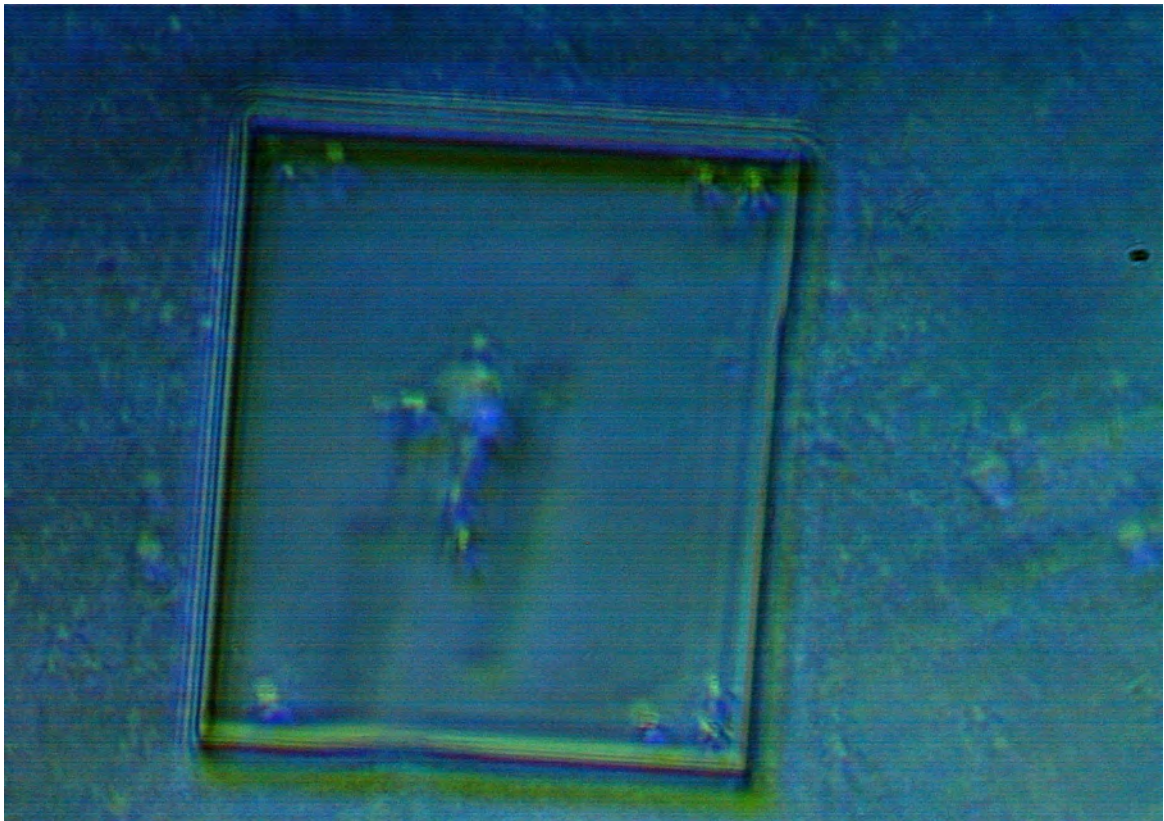


*Fotografia 40*

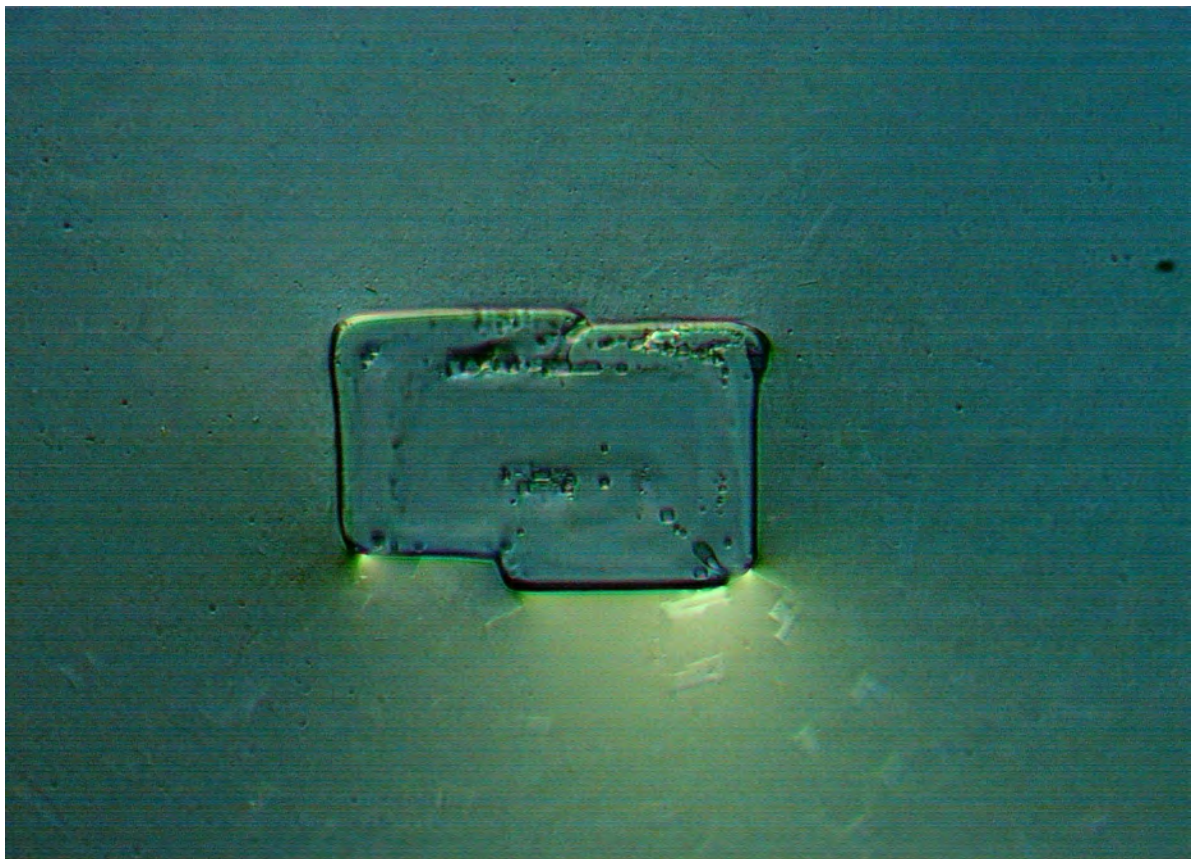
Tradução cortesia da equipa de tradução de La Quinta Columna.

Link para o documento original aqui:

<https://www.laquintacolumna.info/docs/docs/delgado-informe-identificacion-micro-tecnologia-patrones-artificiales-en-vacuna-es.pdf>



*Fotografia 41*

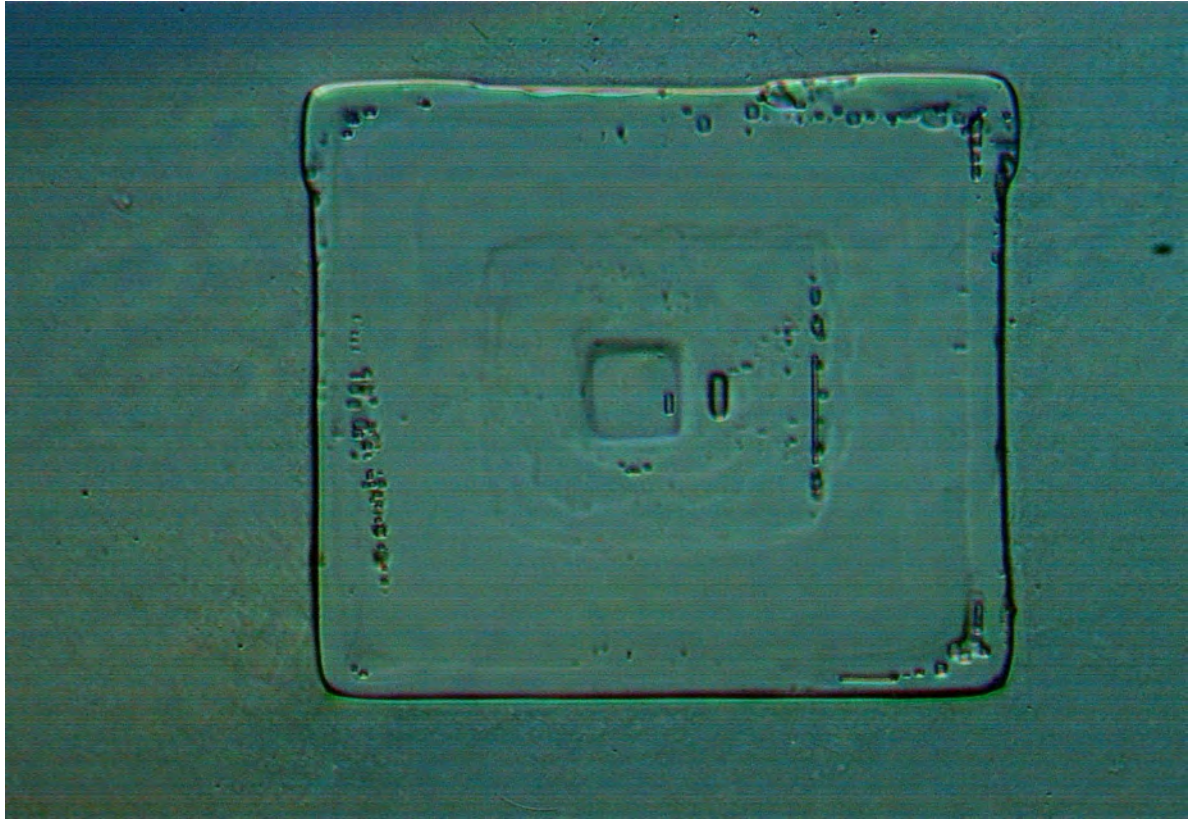


*Fotografia 42*

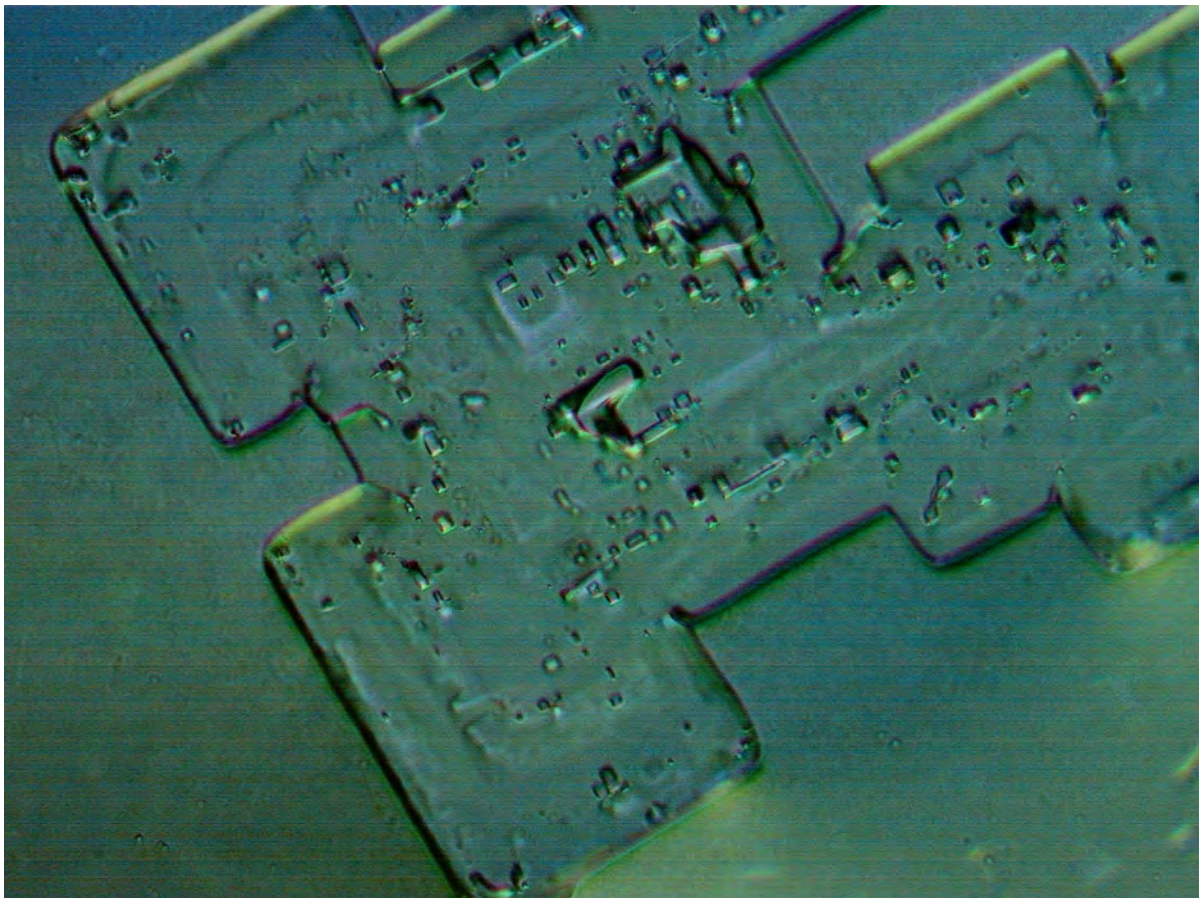
Tradução cortesia da equipa de tradução de La Quinta Columna.

Link para o documento original aqui:

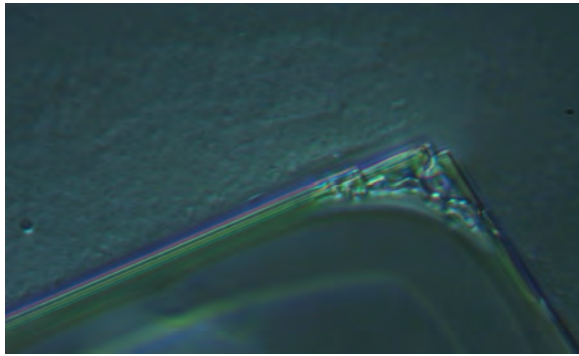
<https://www.laquintacolumna.info/docs/docs/delgado-informe-identificacion-micro-tecnologia-patrones-artificiales-en-vacuna-es.pdf>



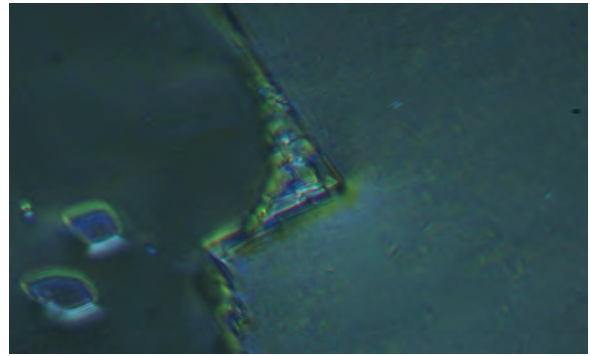
*Fotografia 43*



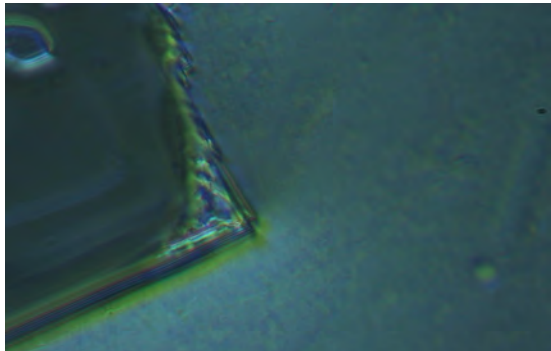
*Fotografia 44*



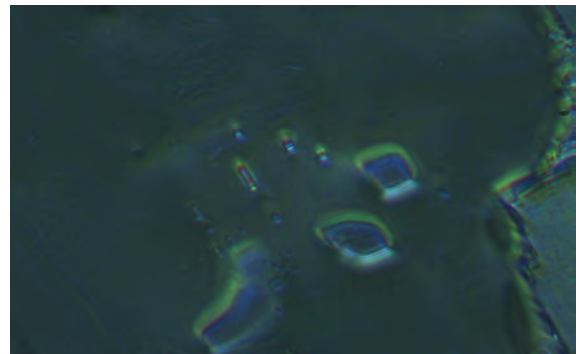
*Fotografia 45*



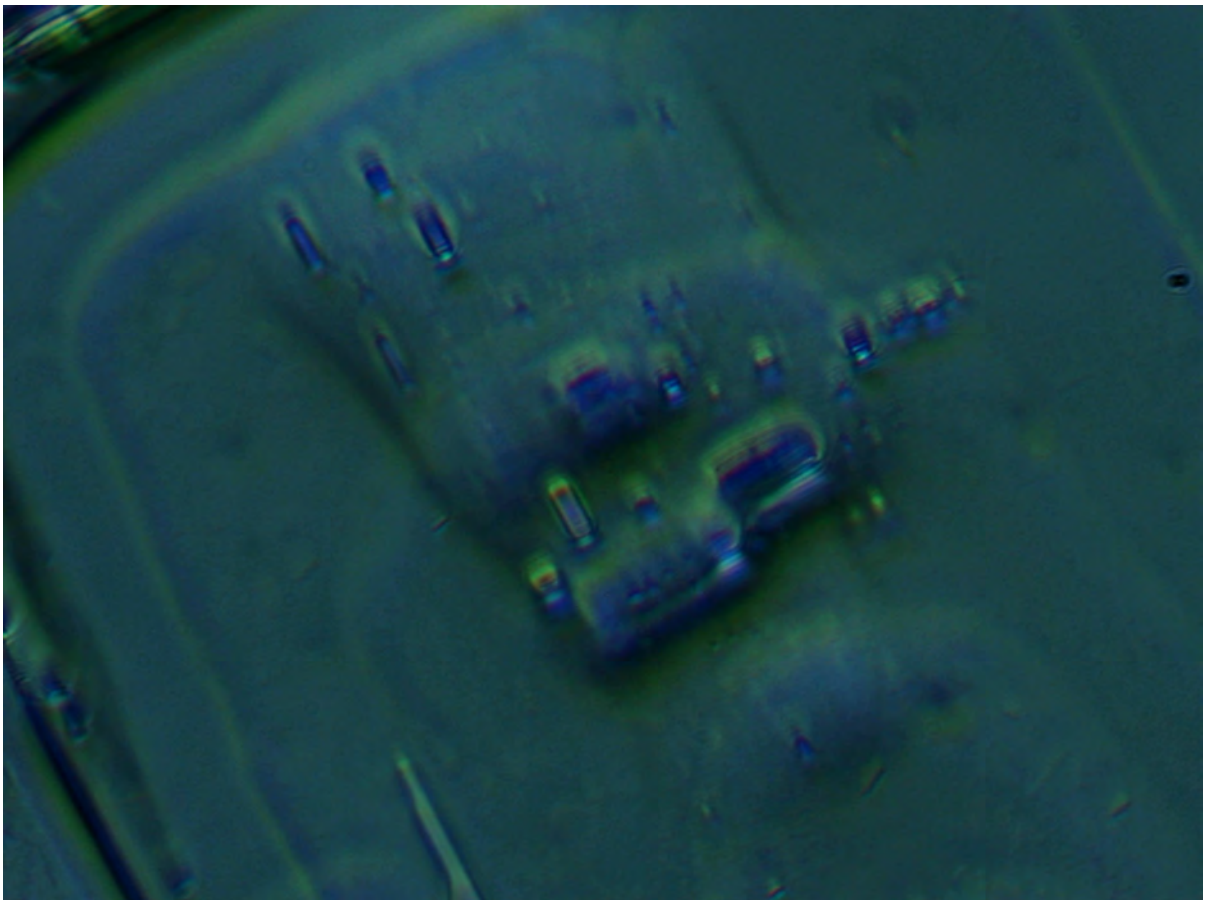
*Fotografia 46*



*Fotografia 47*



*Fotografia 48*



*Fotografia 49*

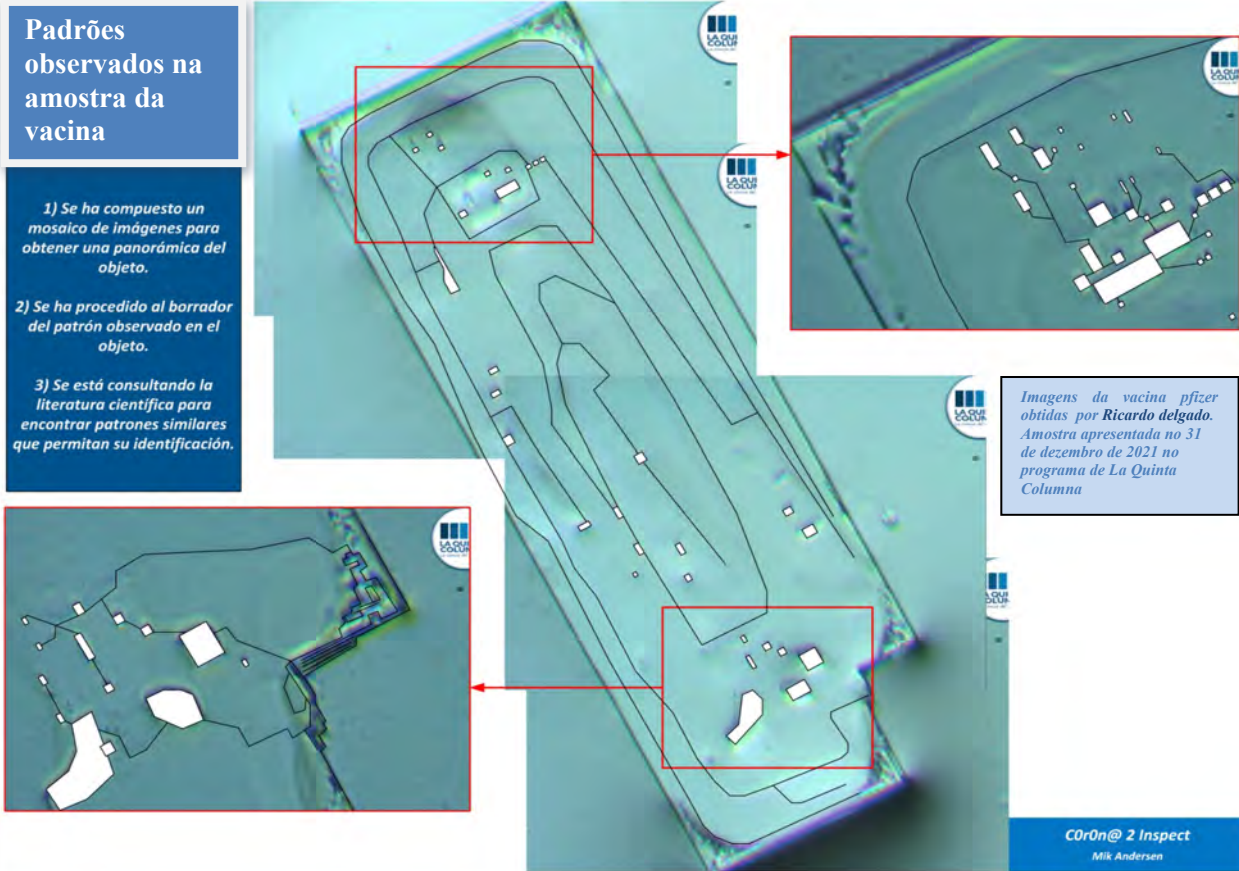
# PADRÕES ARTIFICIAIS OBSERVADOS NA AMOSTRA DA VACINA PFIZER E COMPARAÇÃO DAS IMAGENS COM A LITERATURA

**Padrões observados na amostra da vacina**

1) Se ha compuesto un mosaico de imágenes para obtener una panorámica del objeto.

2) Se ha procedido al borrador del patrón observado en el objeto.

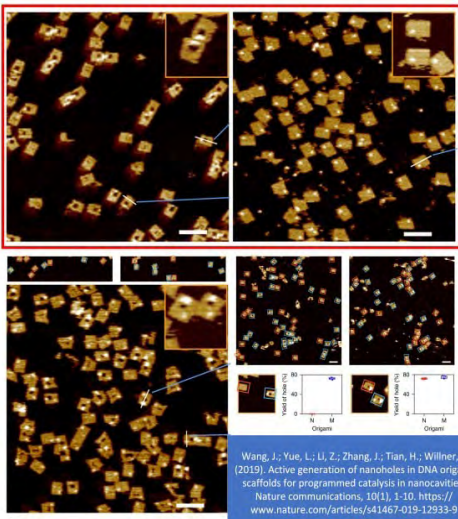
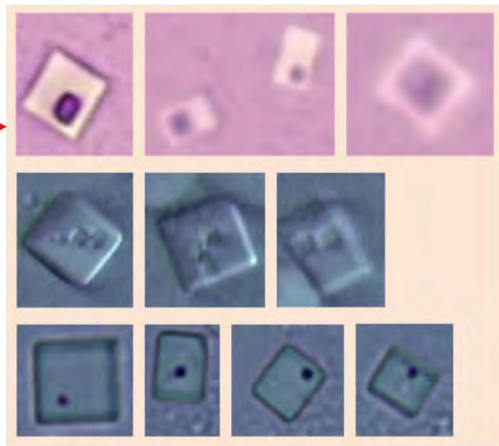
3) Se está consultando la literatura científica para encontrar patrones similares que permitan su identificación.



Imagens da vacina pfizer obtidas por Ricardo delgado. Amostra apresentada no 31 de dezembro de 2021 no programa de La Quinta Columna

C0r0n@ 2 Inspect  
Mik Andersen

Fonte: [blob:https://t.me/c0r0na2inspect/202](https://t.me/c0r0na2inspect/202)

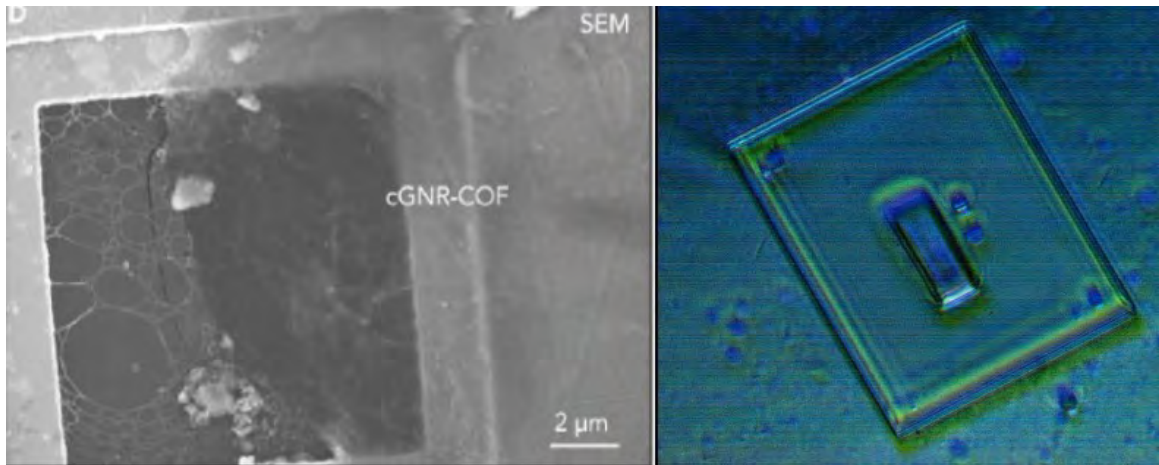
Literatura Científica	Amostras da Vacina
 <p style="font-size: x-small; text-align: center;">Wang, J.; Yue, L.; Li, Z.; Zhang, J.; Tian, H.; Willner, I. (2019). Active generation of nano-holes in DNA origami scaffolds for programmed catalysis in nanocavities. Nature communications, 10(1), 1-10. <a href="https://www.nature.com/articles/s41467-019-12933-9">https://www.nature.com/articles/s41467-019-12933-9</a></p>	

(Campra, P. 2.021 e R. Delgado 2.022)



*Literatura científica*

*(R. Delgado 2.022)*



*Literatura científica*

*(R. Delgado 2.022)*

Literatura Científica	Amostras da Vacina
<p>(Rong, Z.; Leeson, M.S.; Higgins, M.D.; Lu, Y. 2018)</p>	<p>{Campra, P. 2021}</p>

## 1. CONCLUSÕES FINAIS

Com base na presente investigação e no relatório das amostras observadas, podem ser tiradas as seguintes conclusões:

**O grafeno presente nos frascos destina-se a amplificar sinais de microondas na actual gama de GHz a partir de antenas de telemóveis à escala de THz, o que permitirá o bom funcionamento de todas as microtecnologias** relatadas na literatura científica e muito provavelmente observáveis nas amostras analisadas neste relatório.

*"EEWNSN: Energy Efficient Wireless Nano Sensor Network MAC Protocol for Communications in the Terahertz Band"*  
<https://dl.acm.org/doi/10.1007/s11277-017-4517-4>. Negar Rikhtegar, Manijeh Keshtgari and Zahra Ronaghi (Novembro 2.017)

Isto explica o facto de que a maioria dos "vacinados" com esta tecnologia, para além do grafeno introduzido nos frascos para o alimentar electronicamente, **emitem endereços MAC que estão registados na tecnologia sem fios Bluetooth**, como qualquer pessoa pode, hoje em dia verificar, sem que qualquer autoridade se tenha pronunciado sobre o assunto ou qualquer "meio" oficial o mencione.

Algumas das muitas publicações científicas sobre o uso de **protocolos MAC** para microrredes usando grafeno podem ser encontradas aqui:

*"MAC protocols for Wireless Nano-sensor Networks: Performance analysis and design guidelines"*.  
<https://ieeexplore.ieee.org/document/7470805?arnumber=7470805>. Rawan Alsheikh, Nadine Akkari and Etimad Fadel. (2.016)

*"Directional MAC approach for wireless body area networks"*. <https://pubmed.ncbi.nlm.nih.gov/22346602/>. Md Asdaque Hussain, Md Nasre Alam and Kyung Sup Kwak. (2.011)

*"A very low power MAC (VLPM) protocol for Wireless Body Area Networks"*. <https://pubmed.ncbi.nlm.nih.gov/22163818/>  
Niamat Ullah, and Kyung Sup Kwak. (2.011)

***É muito notável que segundo a própria corporação Pfizer falam-nos de composição de nanopartículas lipídicas e portanto, de um ponto de vista microscópico, não deveríamos observar nada.***

***No entanto, a grande galeria de microfotografias registadas neste relatório mostra que existe uma multiplicidade de partículas de tamanho microscópico e claramente visíveis com esta óptica.***

***A alegada composição dos frascos analisados sob a designação comercial "Comirnaty mRNA COVID19", tal como publicada pela Agência Europeia de Medicamentos, a própria corporação farmacêutica e outras agências reguladoras de "controlo" não coincide com o que é apreciado neste relatório.***

## BIBLIOGRAFIA CONSULTADA

"Radio-frequency characteristics of graphene oxide". <https://aip.scitation.org/doi/10.1063/1.3506468>

Whan Kyun Kim, Young Mo Jung, Ji Yoong Kang, Ju Yeong Oh, Hosung Kang, Hee-Jo Lee, Jae Hun Kim, Seok Lee, H. J. Shin, J. Y. Choi, S. Y. Lee, Y. C. Kim, I. T. Han, J. M. Kim, Jong-Gwan Yook, Seunghyun Baik, and Seong Chan Jun (2.010)

"Analysis of Graphene Antenna Properties for 5G Applications".

[https://www.researchgate.net/publication/337093683\\_Analysis\\_of\\_Graphene\\_Antenna\\_Properties\\_for\\_5G\\_Applications](https://www.researchgate.net/publication/337093683_Analysis_of_Graphene_Antenna_Properties_for_5G_Applications)

Siti Nor Hafizah Sa'don, Mohd haizal Jamaluddin, Muhammad Ramlee Kamarudin, Fauzan Ahmad (Noviembre 2.019)

"Material advancement in technological development for the 5G wireless communications".

<https://www.degruyter.com/document/doi/10.1515/ntrev-2020-0054/html>. Huali Hao, David Hui and Denvid Lau (2.020)

"La visión de la nanotecnología para las radiocomunicaciones en los próximos años. Una perspectiva desde la academia".

[https://www.researchgate.net/publication/323196338\\_La\\_vision\\_de\\_la\\_nanotecnologia\\_para\\_las\\_radiocomunicaciones\\_en\\_los\\_proximos\\_anos\\_Una\\_perspectiva\\_desde\\_la\\_academia](https://www.researchgate.net/publication/323196338_La_vision_de_la_nanotecnologia_para_las_radiocomunicaciones_en_los_proximos_anos_Una_perspectiva_desde_la_academia). Andrés García y Leonardo Betancur (Junio 2.017)

"CRISPR-Cas9 Activated Graphene Biointerfaces for Capture and Real-Time Monitoring of Cell-Free DNA on a

Microneedle Patch". [https://www.researchgate.net/publication/351605243\\_CRISPR-](https://www.researchgate.net/publication/351605243_CRISPR-Cas9_Activated_Graphene_Biointerfaces_for_Capture_and_Real-Time_Monitoring_of_Cell-Free_DNA_on_a_Microneedle_Patch)

[Cas9\\_Activated\\_Graphene\\_Biointerfaces\\_for\\_Capture\\_and\\_Real-Time\\_Monitoring\\_of\\_Cell-Free\\_DNA\\_on\\_a\\_Microneedle\\_Patch](https://www.researchgate.net/publication/351605243_CRISPR-Cas9_Activated_Graphene_Biointerfaces_for_Capture_and_Real-Time_Monitoring_of_Cell-Free_DNA_on_a_Microneedle_Patch).

Jilie kong (Abril 2.021)

"Design of Wireless Nanosensor Networks for Intrabody Application".

[https://www.researchgate.net/publication/282476793\\_Design\\_of\\_Wireless\\_Nanosensor\\_Networks\\_for\\_Intrabody\\_Application](https://www.researchgate.net/publication/282476793_Design_of_Wireless_Nanosensor_Networks_for_Intrabody_Application). Suk

Jin Lee y Changyong (Andrew) Jung (Julio 2.015)

"DNA-assembled advanced plasmonic architectures". <https://www.ncbi.nlm.nih.gov/labs/pmc/articles/PMC6546600/>

Na Liu y Tim Liedl (Enero 2.018)

"Electromagnetic wireless nanosensor networks". <https://www.sciencedirect.com/science/article/abs/pii/S1878778910000050>

Ian F. Akyildiz and Josep Miquel Jornet (Marzo 2.010)

"Recent Progress in Radio-Frequency Sensing Platforms with Graphene/Graphene Oxide for Wireless Health Care

System". [https://www.researchgate.net/publication/349912462\\_Recent\\_Progress\\_in\\_Radio-](https://www.researchgate.net/publication/349912462_Recent_Progress_in_Radio-Frequency_Sensing_Platforms_with_GrapheneGraphene_Oxide_for_Wireless_Health_Care_System)

[Frequency\\_Sensing\\_Platforms\\_with\\_GrapheneGraphene\\_Oxide\\_for\\_Wireless\\_Health\\_Care\\_System](https://www.researchgate.net/publication/349912462_Recent_Progress_in_Radio-Frequency_Sensing_Platforms_with_GrapheneGraphene_Oxide_for_Wireless_Health_Care_System). Hee-Jo Lee (Marzo 2.021)

"Synthesis and Toxicity of Graphene Oxide Nanoparticles: A Literature Review of In Vitro and In Vivo Studies".

<https://www.hindawi.com/journals/bmri/2021/5518999/>. Asmaa Rhazouani, Halima Gamrani, Mounir El Achaby, Khalid

Aziz, Lhoucine Gebrati, Md Sahab Uddin and Faissal AZIZ (2.021)

DELGADO MARTIN  
RICARDO - 79202099N

Firmado digitalmente por  
DELGADO MARTIN RICARDO -  
79202099N

Fecha: 2022.01.13 18:10:51 +01'00'

Tradução cortesia da equipa de tradução de La Quinta Columna.

Link para o documento original aqui:

<https://www.laquintacolumna.info/docs/docs/delgado-informe-identificacion-micro-tecnologia-patrones-artificiales-en-vacuna-es.pdf>